

医療、農業、環境分野における ビッグデータ分析技術の研究開発

石井一夫 東京農工大学

2014年1月24日

総務省四国総合通信局

四国情報通信懇談会ICT研究交流フォーラムセミナー

徳島市ホテル千秋閣

農学系ゲノム科学領域における人材育成プログラムは、
各分野の枠を越えた大学院教育システムを構築し、
世界的規模で急成長しつつある先端ゲノム科学の
技術と知識を有する実践的研究・開発を担う人材を
育成することを目的としています。

[Cb - pH(10)]	[OH]
7.403.98E-08	2.51E-07
7.602.51E-08	3.98E-07
8.001.00E-08	1.00E-06
8.403.98E-09	2.51E-06
8.801.58E-09	6.31E-06
9.001.00E-09	1.00E-05
9.403.98E-10	2.51E-05
9.801.58E-10	6.31E-05
1.000.00E-09	1.00E-04

本日の内容

- 1、概要
- 2、事例1 DNA自動解析装置の品質管理
- 3、事例2 進化系統樹の作成の最適化と
生物種の識別
- 4、事例3 精神神経系疾患の診断系確立
- 5、事例4 人材育成 | 情報処理学会
ビッグデータ活用実務フォーラム

自己紹介

東京農工大学農学府農学部特任教授

徳島市生、
徳島大学大学院医学研究科博士課程修了後
東京大学医科学研究所、理化学研究所、
フランス国立遺伝子多型解析センターCNG、
米国ノースウエスタン大学Feinberg医学部
などを経て現職。
専門:ゲノム科学、バイオインフォマティクス、
計算機統計学。

我々のビッグデータ処理の新しい産業応用 広告やゲーム、レコメンだけではない

個別化医療(ライフサイエンス):

精神神経系疾患の網羅的ゲノム診断法の開発

ゲノム育種(グリーンサイエンス):

イネなどの新品種の開発

環境アセスメント(エコサイエンス):

環境微生物の分布、分類、生態調査

ゲノム科学におけるビッグデータ分析

本研究室では、大規模データ解析に対し以下の4方法で対応している。
HPCも、モンテカルロも、クラウドも使えるものは何でも使う主義。

1. モンテカルロシミュレーション：大量データから無作為にサンプルを抽出し、元のデータをシミュレーション

2. Big iron (大容量メモリサーバ)による大量並列処理 (HPC)
HP社の協力により、4TBメモリ、CPU: Xeon E7 (80 コア、160スレッド)の大容量メモリ解析サーバを使用

3. Hadoop による分散処理システム (クラウドを利用)
Amazon Elastic MapReduce (Amazon EMR) プラットフォーム
(後日発表)

4. Hadoop によらない分散処理システム
シェルスクリプトベースの分散処理。usp-BOA (USP研究所) を利用。大量データのクオリティチェック (後日発表)

本日は、上記の1,2,の方法の適用例を紹介する。

次世代シーケンサーの例 (超高性能DNA自動解読装置)

イルミナ社 GAIIX, MiSeq,
ロシュダイアグノスティクス社 454
ライフテクノロジーズ社 IonProton
など



GAIIX



MiSeq

東京農工大に設置されている機器

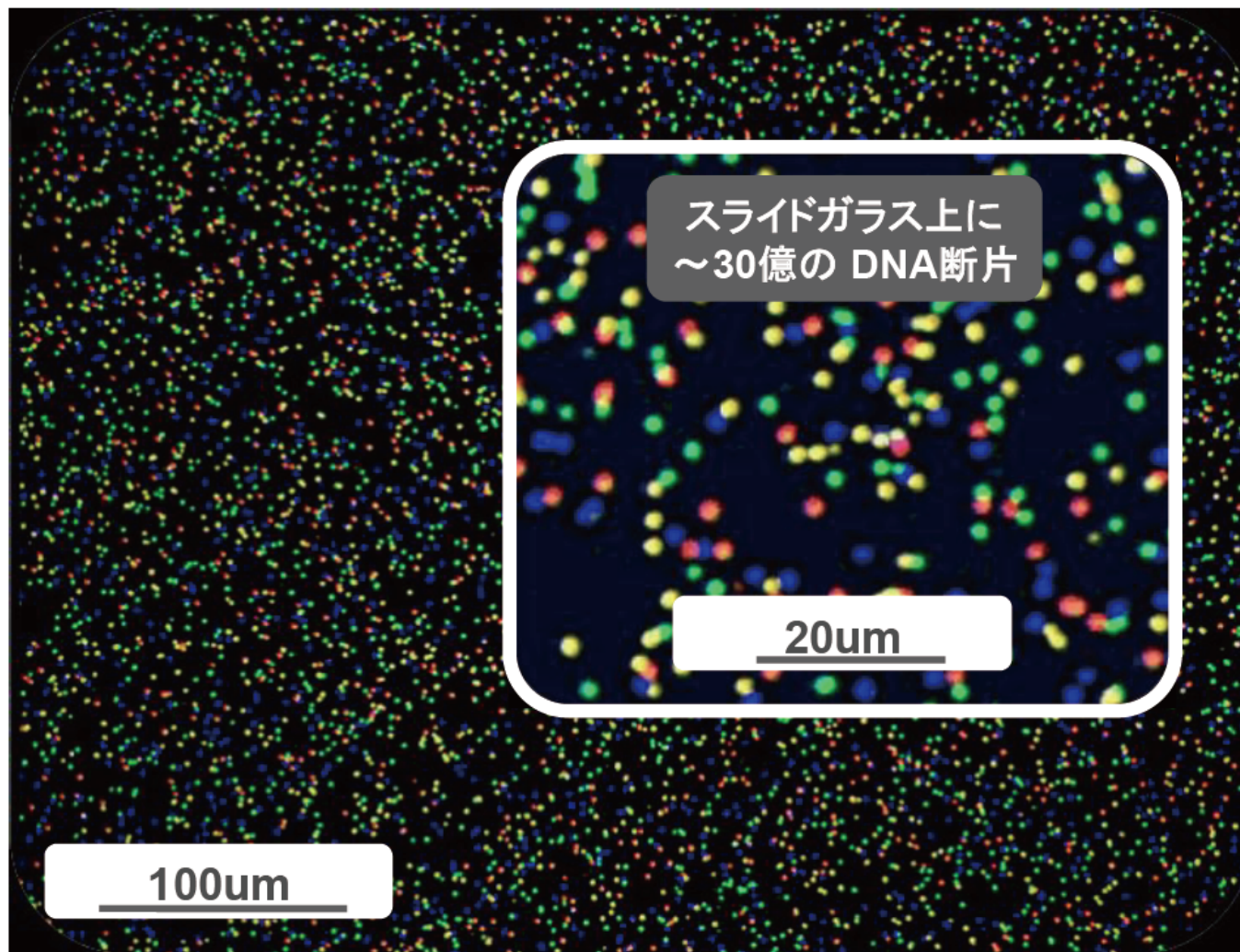
次世代シーケンサー

固相基板の上に、DNA断片を固相化し、これを蛍光色素+酵素反応などを用いて、同時並列的に解読。CCDカメラで撮影+コンピュータで処理。

一度に、約数十～数千塩基のDNA断片を数十万から数億のDNA断片同時に解読できます。

数日から、数時間でヒトゲノム DNAを30億塩基解読することも可能。

次世代シーケンサーのDNA解読画像



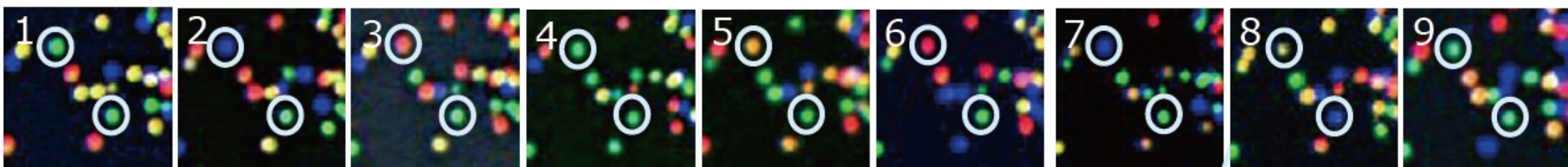
イルミナ社資料より

次世代シーケンサーのDNA解読画像

色のイメージからDNAの配列を決定

T C A T G A C T T

T



T

イルミナ社資料より

次世代シーケンサーのデータ解析

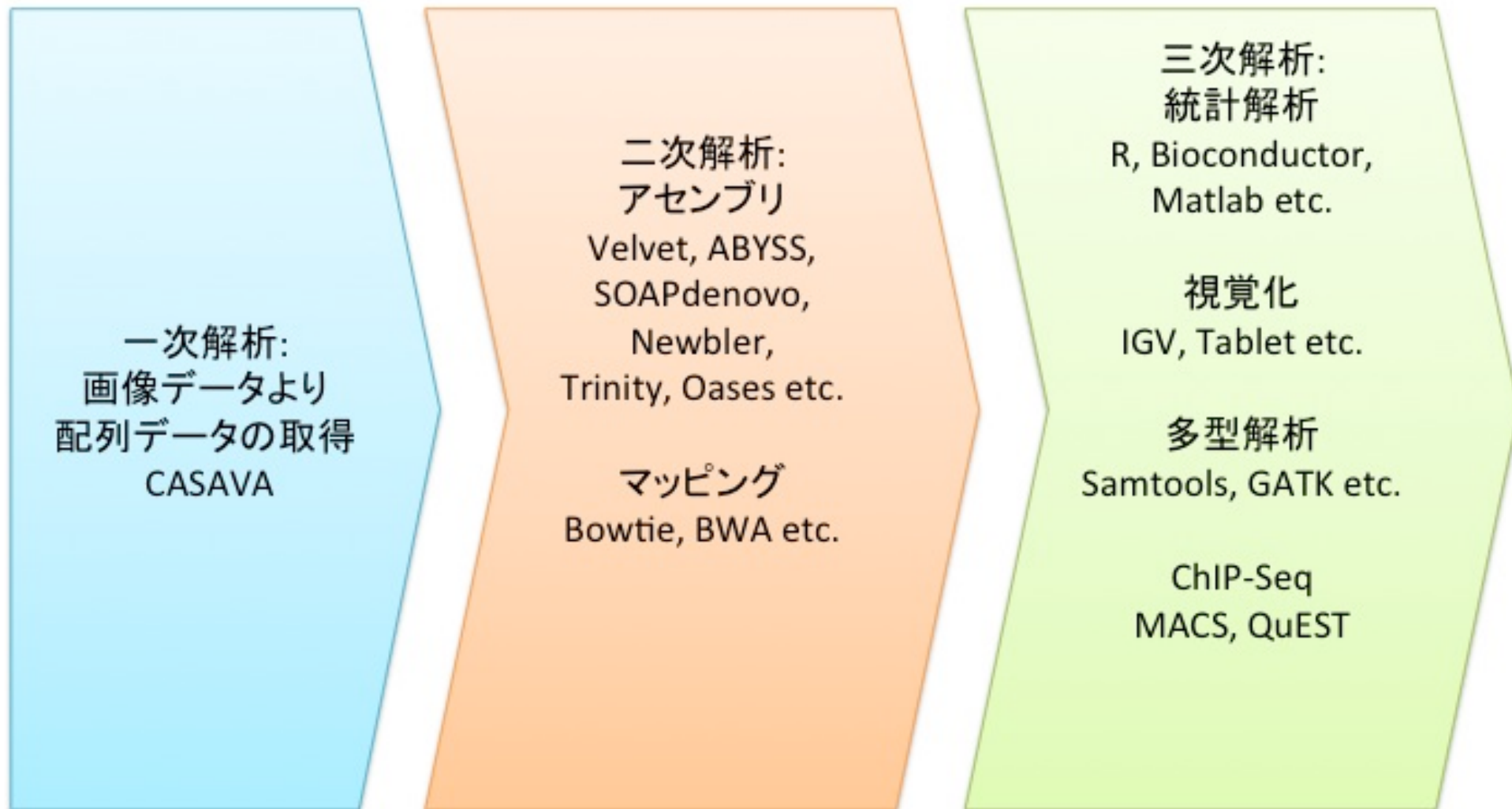
データ解析システムは主に、Linux をベースとしたフリーソフトウェアを用いて構築。

テキスト処理と数値計算を駆使し、awk, grep, cut, cat, sedなどのコマンドと、Perl/Python/Ruby などのスクリプト言語、S-PLUS/R、Octave(Matlab) などの統計解析ソフトを活用する。

専用解析ソフトも多く開発、C、C++、Java などで、開発。

データ解析は3段階

Conventional Genomic Analysis System on Linux Server



使用するソフトウェア群

3段階のデータ解析

1段階 画像処理 → DNA塩基配列取得

**2段階 DNA塩基配列を連結、整列、編集
アセンブリ 配列を相互に連結
マッピング 参照配列に整列**

**3段階 統計処理、視覚化、
データマイニング**

解析ソフト群

1段階 画像処理 → DNA塩基配列取得
CASAVA

2段階 配列を集計、編集
アセンブリ 配列を相互に連結
Velvet、SOAPdenovo、Trinity、
マッピング 参照配列に整列
Bowtie、BWA、、

3段階 統計処理、視覚化、
データマイニング **S-PLUS、BLAST、、**

Hadoopを用いた 次世代シーケンサーのデータ解析

コンピュータクラスタや、クラウドの活用。

Hadoop MapReduce などのビッグデータフレームワークの活用例も増えてきている。

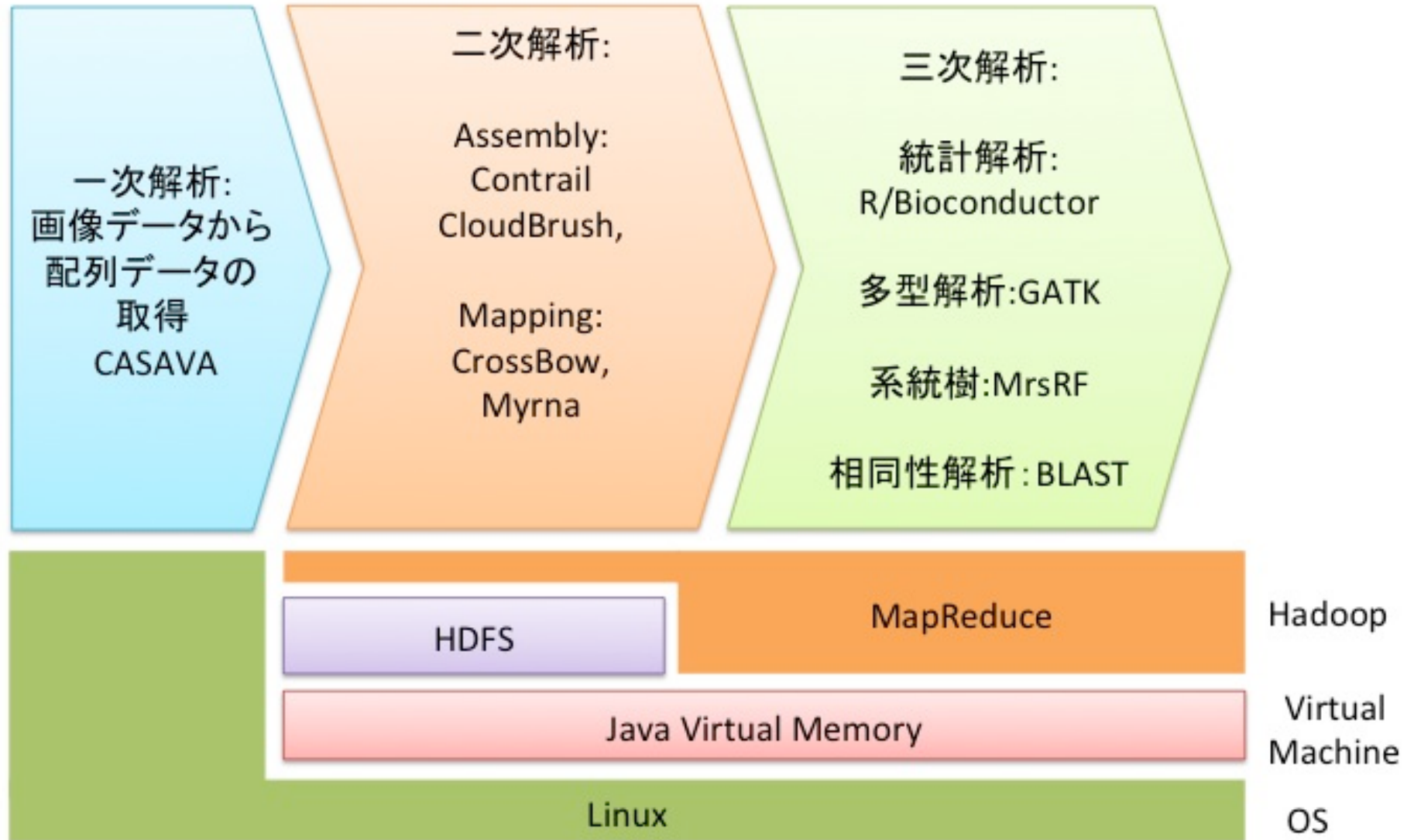
なぜ クラウド??

個人レベル、1研究室レベルで、コンピュータクラスタを構築することは、コスト的に無理。

クラウドでしか、コンピュータクラスタを使えない。

Hadoop を個人レベルで構築するひとつの方法として、クラウドサービスの利用を検討。

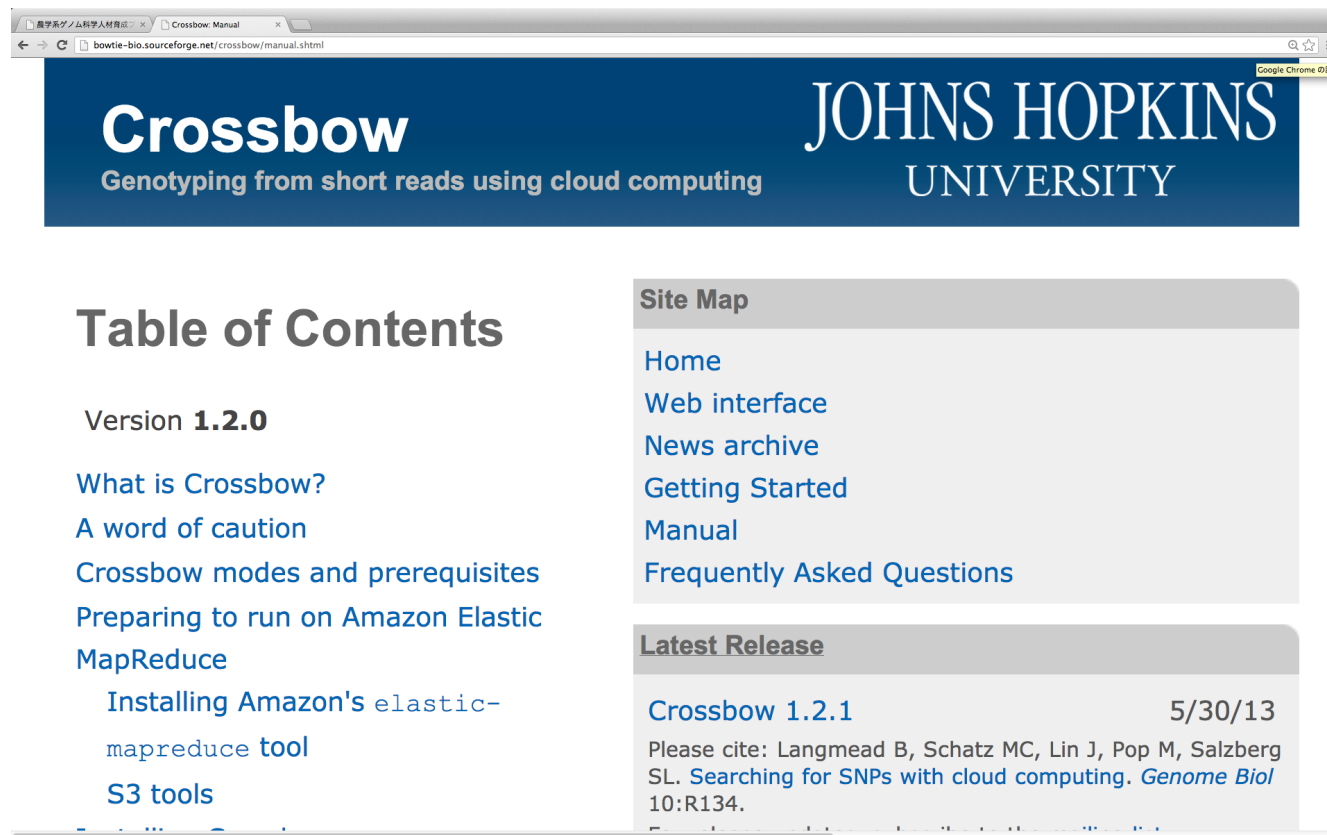
Hadoop 上で動作する解析システム



使用するソフトウェア群

Crossbow

Hadoopを使用して次世代シーケンサーデータをマッピングし、多型を検出するソフトウェア。

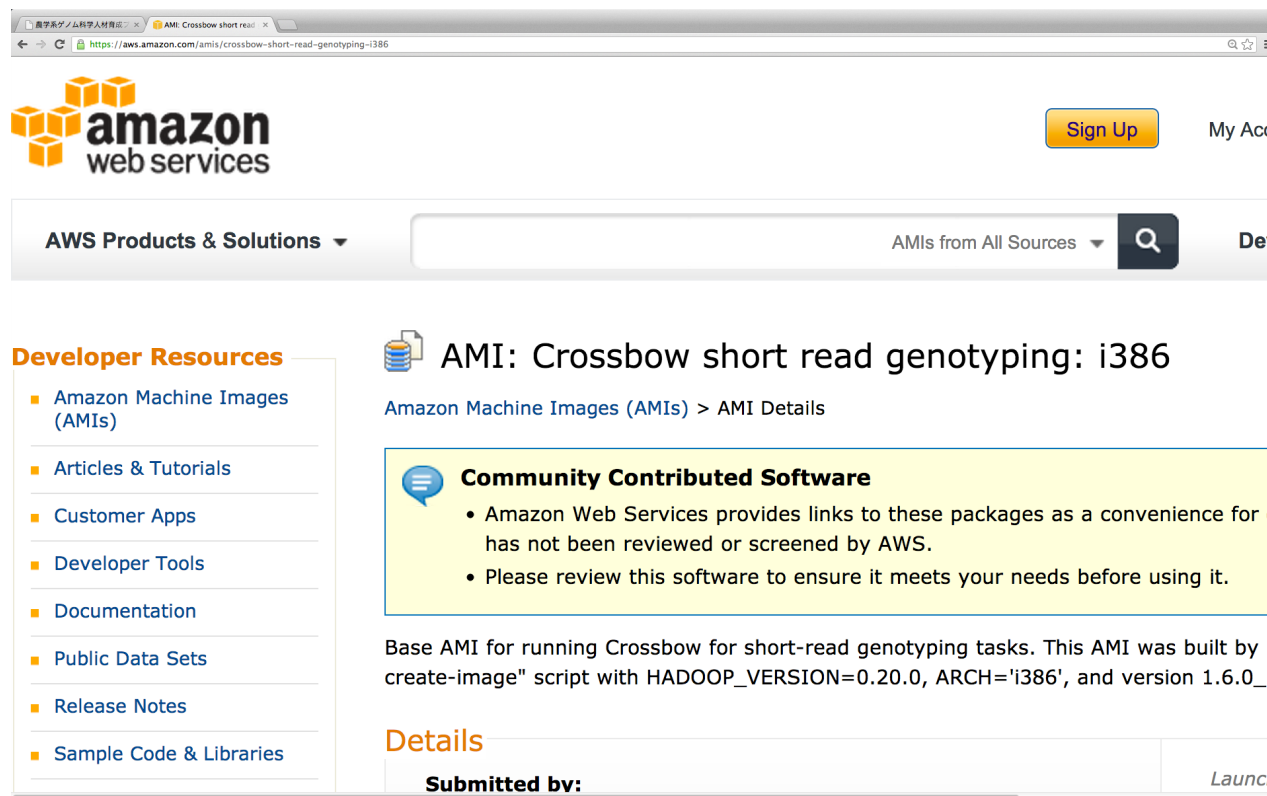


The screenshot shows a web browser window displaying the Crossbow manual page. The page has a dark blue header with the Crossbow logo and the text "Genotyping from short reads using cloud computing". To the right of the header is the Johns Hopkins University logo. The main content area is divided into two columns. The left column contains a "Table of Contents" with links to "Version 1.2.0", "What is Crossbow?", "A word of caution", "Crossbow modes and prerequisites", "Preparing to run on Amazon Elastic MapReduce", "Installing Amazon's elastic-mapreduce tool", and "S3 tools". The right column contains a "Site Map" with links to "Home", "Web interface", "News archive", "Getting Started", "Manual", and "Frequently Asked Questions". Below the Site Map is a "Latest Release" section for Crossbow 1.2.1, dated 5/30/13, with a citation: "Please cite: Langmead B, Schatz MC, Lin J, Pop M, Salzberg SL. Searching for SNPs with cloud computing. Genome Biol 10:R134."

AWSでのCrossbowの利用

Hadoopを使用して次世代シーケンサーデータをマッピングし、多型を検出するソフトウェア。

Crossbow



The screenshot shows the AWS console interface for an Amazon Machine Image (AMI). The page title is "AMI: Crossbow short read genotyping: i386". The AMI is categorized as "Community Contributed Software". A warning message states: "Amazon Web Services provides links to these packages as a convenience for customers. This software has not been reviewed or screened by AWS. Please review this software to ensure it meets your needs before using it." The description of the AMI reads: "Base AMI for running Crossbow for short-read genotyping tasks. This AMI was built by running 'aws-ami-create-image' script with HADOOP_VERSION=0.20.0, ARCH='i386', and version 1.6.0...". The "Submitted by" field is visible at the bottom of the details section.

GATK (Genome Analysis Toolkit)

Javaベースで動作するMapreduceのフレームワークを取り入れた遺伝子多型解析用ソフトウェア



The screenshot shows the GATK website homepage. The browser address bar displays www.broadinstitute.org/gatk/about/index. The page features a navigation menu with links for Home, About, Guide, Community, and Downloads. A search bar is located in the top right. The main content area is titled "Introduction to the GATK" and includes a sidebar with "About" links such as "Introduction to the GATK", "Citing the GATK", "GATK in print", "User stories", and "Who we are". The main text explains that GATK is a Toolkit for Genome Analysis, used for identifying rare mutations in exomes and handling genome data from various organisms. It highlights the toolkit's industrial-strength infrastructure and its ability to handle a wide set of tools in workflows. A "High Performance" link is visible at the bottom right of the content area.

GATK の論文

Javaベースで動作するMapreduceのフレームワークを取り入れた遺伝子多型解析用ソフトウェア

The screenshot shows a web browser window with the following content:

- Browser tabs: かがとは (かがと), The Genome An..., W MapReduce - Wi..., Hadoop - Googl..., Wikibon Big Da..., 2/Bページ: グー..., The World's Bes..., 日報BP/スポート..., ユーザー認証: ロ..., M[Nikkei BP passp..., 日報BP/スポート..., 日報BP/スポート..., Google Researc...
- Address bar: www.ncbi.nlm.nih.gov/pmc/articles/PMC2928508/
- Page title: The Genome Analysis Toolkit: A MapReduce framework for analyzing n...
Genome Res. 2010 September; 20(9): 1297-1303.
- Navigation icons: PMC, back, forward, print, search, help, font size, menu.
- Header banner: Genome Research, Cold Spring Harbor Laboratory Press
- Article title: The Genome Analysis Toolkit: A MapReduce framework for analyzing next-generation DNA sequencing data
- Authors: Aaron McKenna, Matthew Hanna, [...], and Mark A. DePristo
- Link: [Additional article information](#)
- Section: **Abstract**
- Page indicator: Page 1 of 44
- Navigation: Next (arrow icon)
- Thumbnail gallery: A row of six small images representing different parts of the article, including a flowchart, a table, a diagram, a heatmap, a table, and a graph.
- Vertical text on the right: Next Page
- Bottom right icon: A grey square button with three black dots.

Genome Res. 2010 Sep;20(9):1297-303. doi:
10.1101/gr.107524.110. Epub 2010 Jul 19. より

GATKによるSNPコーリング (GATK の論文より)

www.ncbi.nlm.nih.gov/pmc/articles/PMC2928508/#po=3.40909

The Genome Analysis Toolkit: A MapReduce framework for analyzing n...

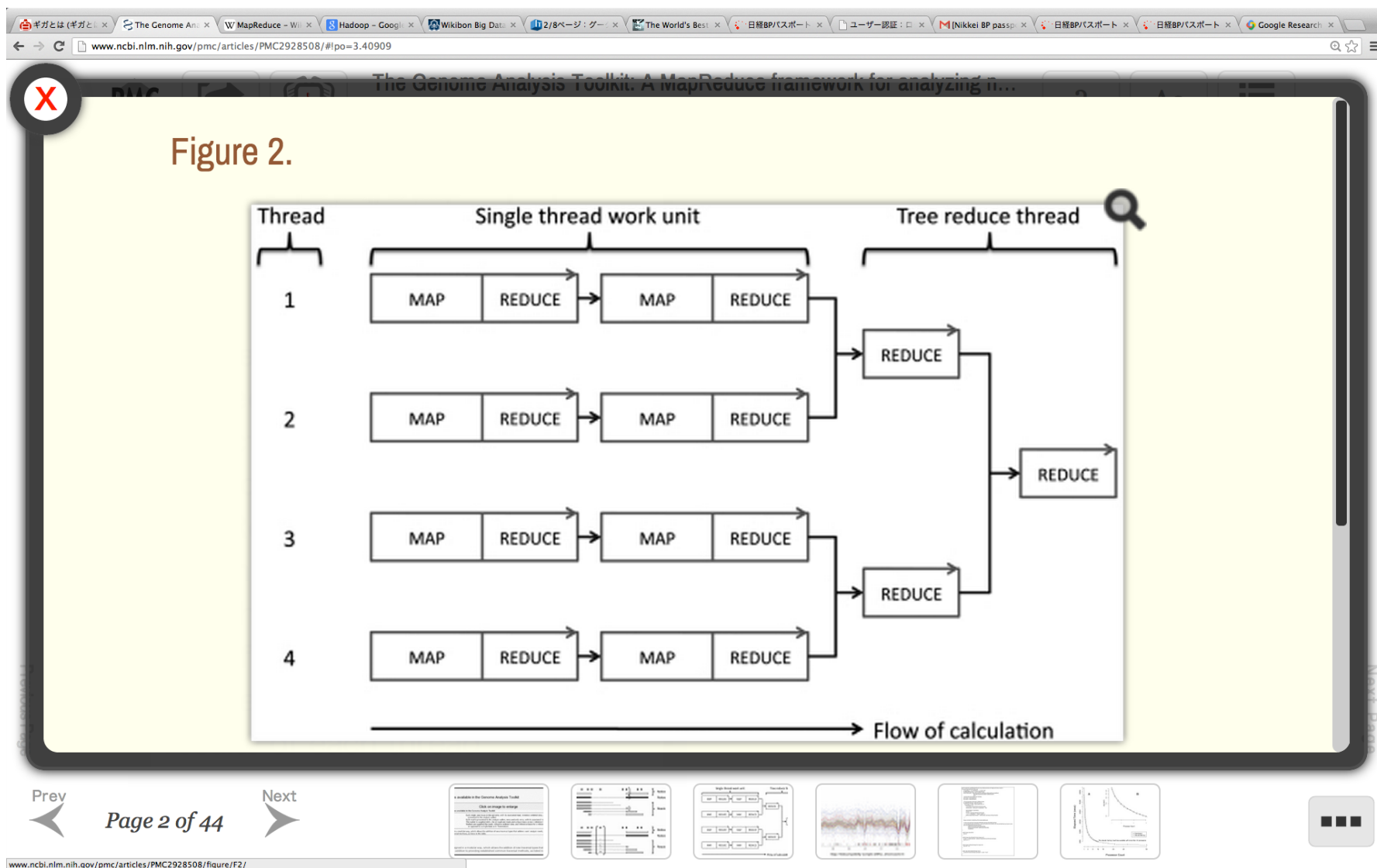
Figure 1.

Read-based and locus-based traversals. Read-based traversals provide a

Prev Page 2 of 44 Next

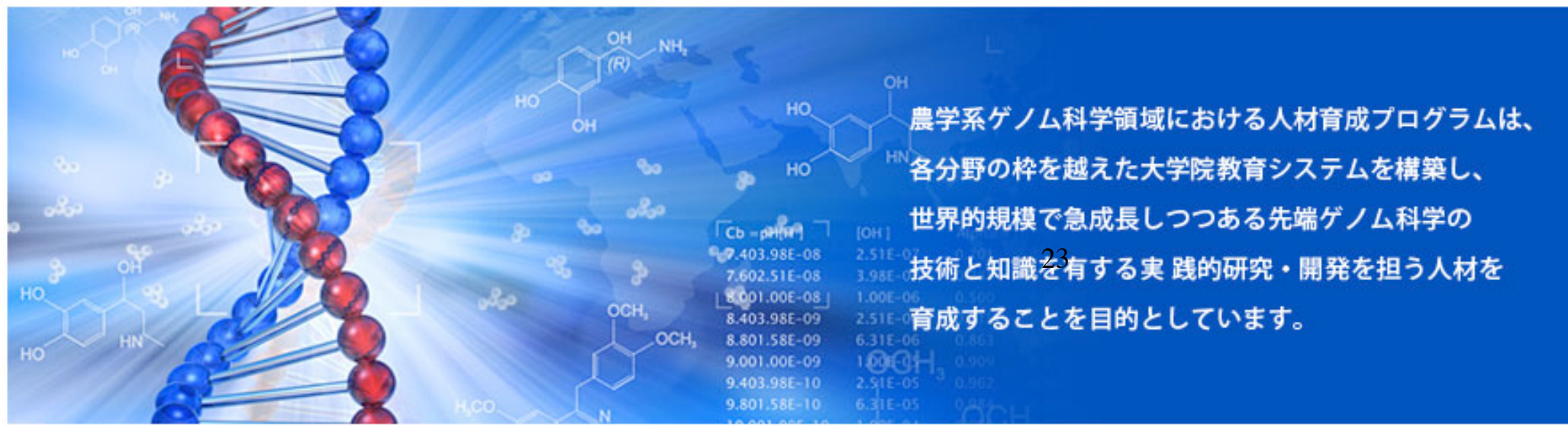
www.ncbi.nlm.nih.gov/pmc/articles/PMC2928508/figure/F1/

MapReduceをモデルにしたGATKのプロセス(GATK の論文より)



解析例 Ⅰ

次世代シーケンサーデータの品質管理



農学系ゲノム科学領域における人材育成プログラムは、
各分野の枠を越えた大学院教育システムを構築し、
世界的規模で急成長しつつある先端ゲノム科学の
技術と知識を有する実践的研究・開発を担う人材を
育成することを目的としています。

[Cb - pH(11)]	[OH]
7.403.98E-08	2.51E-07
7.602.51E-08	3.98E-07
8.001.00E-08	1.00E-06
8.403.98E-09	2.51E-06
8.801.58E-09	6.31E-06
9.001.00E-09	1.00E-05
9.403.98E-10	2.51E-05
9.801.58E-10	6.31E-05
1.001.00E-09	1.00E-04

次世代シーケンサーデータの品質管理

次世代シーケンサーデータのクオリティ
チェックに関する問題点。

イルミナ社の場合

フローセル上に DNA 反応クラスタを作らせる。

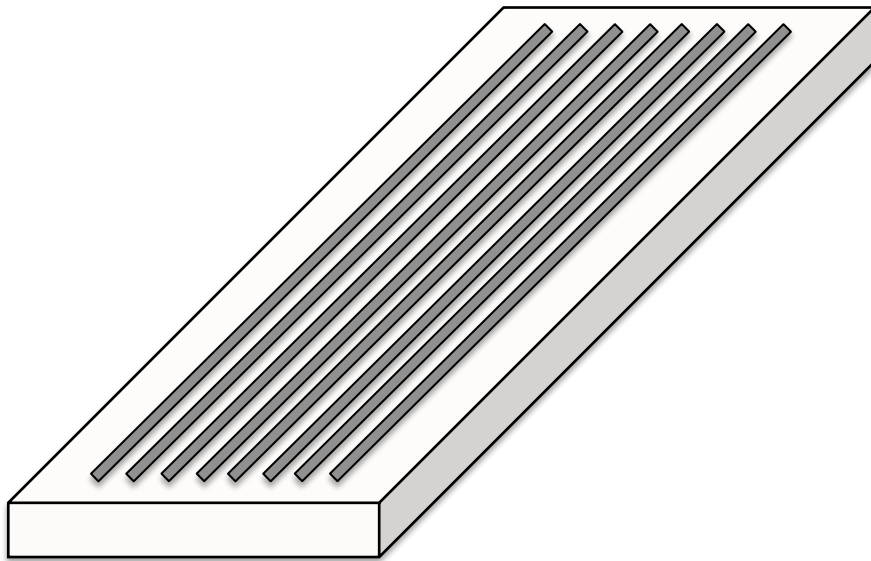
(1) サンプル濃度の間違い、(2) 試薬濃度の間違い、(3) 操作の荒さ、(4) 電圧の不適、(5) データ転送のコマ落ち

様々な原因により、クオリティ悪化が発生。

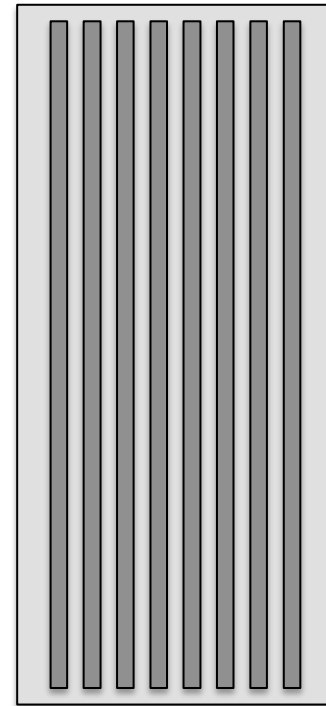
次世代シーケンサーデータの品質管理

イルミナ社の場合

フローセル上に DNA 反応クラスタを作らせる。



フローセルの図
(斜め上から見た図)



フローセルの図
(上から見た図)

次世代シーケンサーデータの品質管理

ランニングコストが高いために、詳細なチェックを行ない、クオリティのいいものだけを使用する工夫が必要。

数十～数百塩基のDNA断片を数十万～数億断片のクオリティチェック

→ 計算機的にかなり高い負荷

効率のよいチェックを行ない悪品質データの除去を行なうことが必要

→ データのサンプリングなどの工夫。

従来のクオリティチェック(FASTQC)

FASTQ ファイルのPhred quality score
をもとに評価

Phred score = $-10 * \log_{10}(\text{error probability})$

0~40段階：40が最良、0が最悪

40字のアルファベット + 数字 + 記号で表現

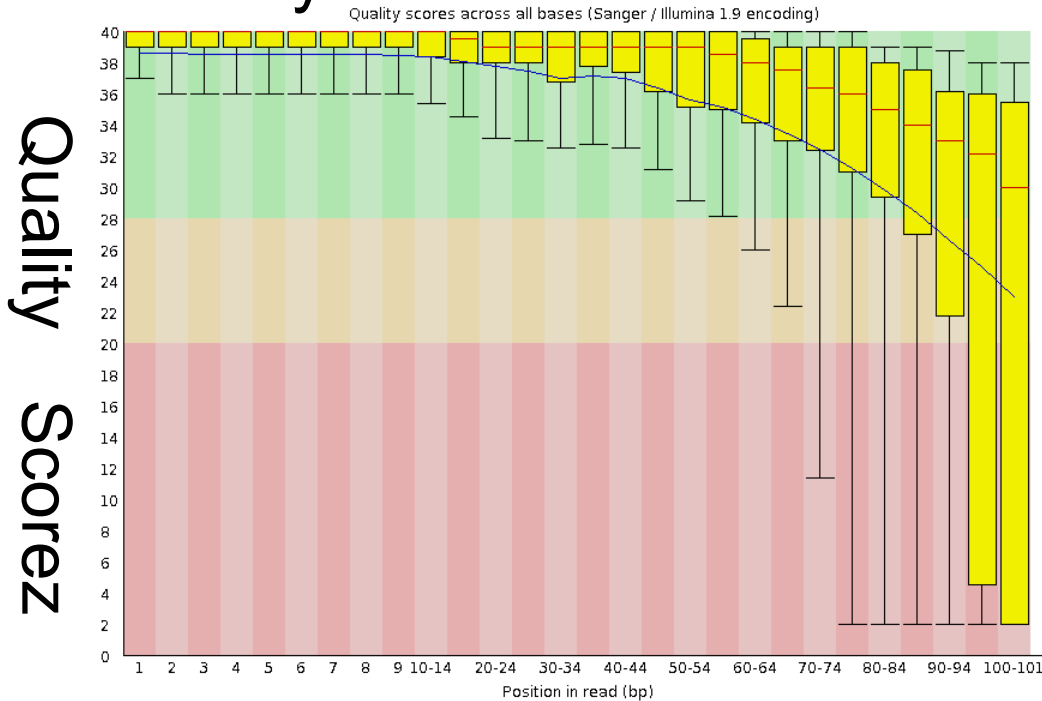
最初の20万リードの平均値でデータを評価

配列データのクオリティチェック

FastQC → 配列データのクオリティチェックを行うフリーソフトウェア

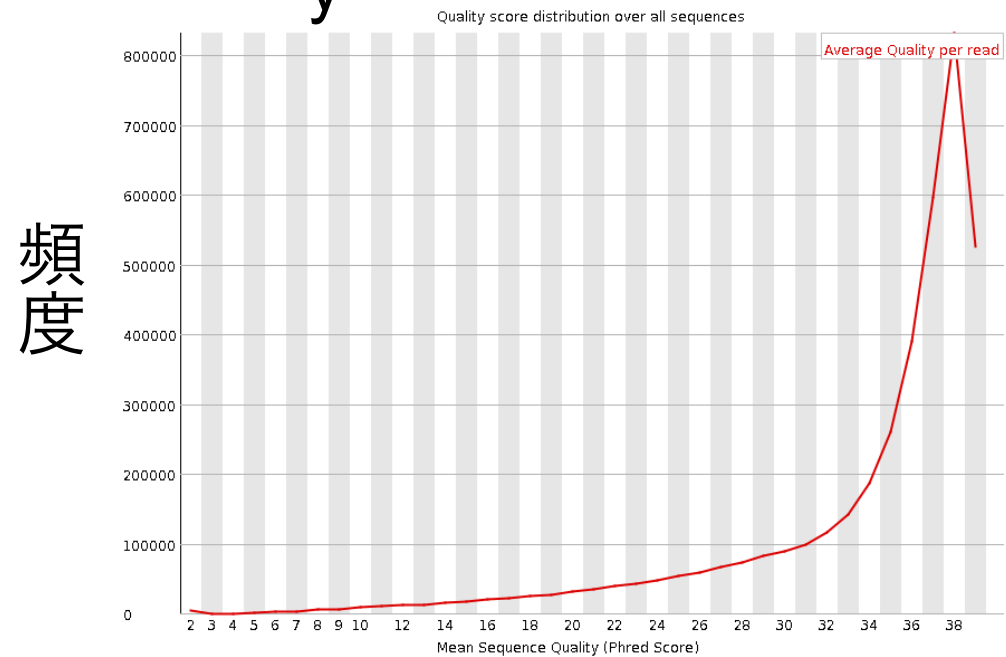
per_base_quality

y



per_base_quality

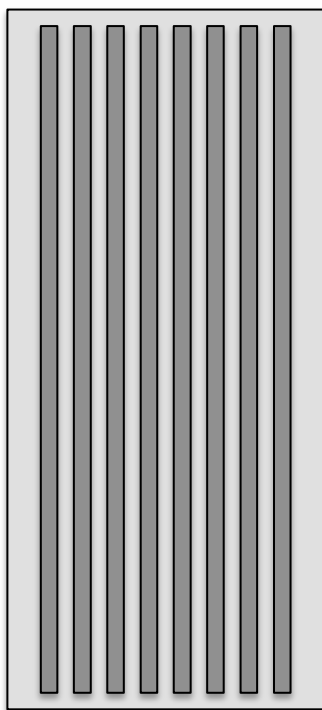
y



Quality Score

クオリティチェックの問題点

GAllxの場合には、フローセル上でDNA反応クラスタを作る



- (1) サンプル濃度の間違い
- (2) 試薬濃度の間違い
- (3) 操作の荒さ

などの原因によりクオリティが悪化することがある。

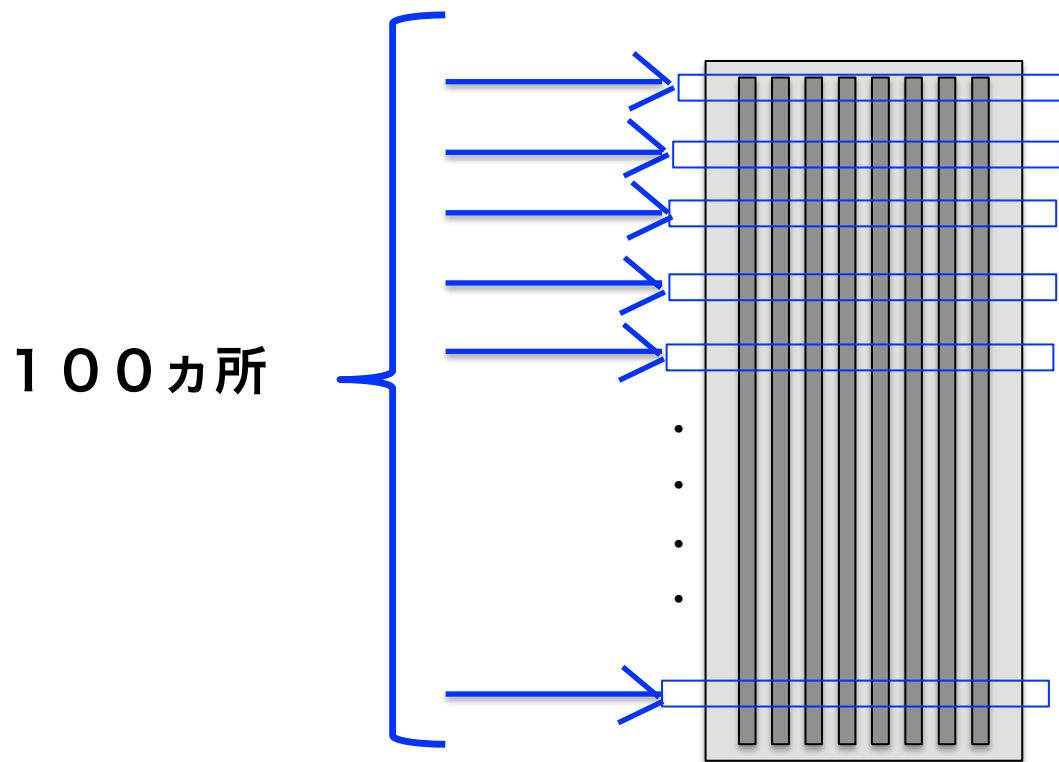
**フローセルの図
(上から見た図)**

研究目的

配列データが数千万個に及ぶ場合には、クオリティデータ全体を正確に把握することが困難

**ファイル全体のクオリティデータを評価する
方法を確立する**

モンテカルロ法によるクオリティチェック①

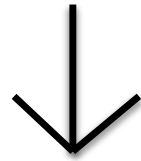


モンテカルロ法

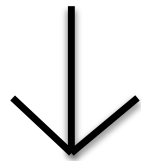
全体を100等分し、100カ所から1000個ずつリードを抽出

モンテカルロ法によるクオリティチェック②

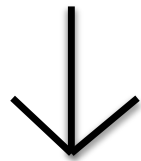
統計解析ソフト「**R**」を使用し乱数を発生



乱数に基づき、fastqファイルから無作為にクオリティデータを抽出



クオリティデータを数値データに変換



Rの関数hist ()、density ()、heatmap () などを使用して全体のクオリティを評価

S-PLUS/Rによる乱数の発生

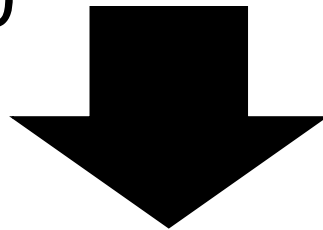
使用サンプル：L197 (Read1：15057415 reads、Read2：
15057415 reads)

15057415read



100区間に等分

1 ~ 150574、150575 ~ 311148、 . . . 、
14906872 ~ 15057400



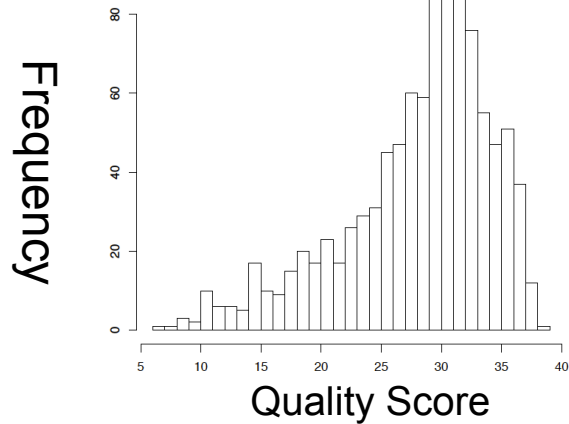
各区間において、**R**の関数runif()を使用して、それぞれ1000個の乱数を発生させる（**一様乱数**）。

さらに、発生させた100区間分の乱数のデータをcbind()によつての結合し、100行×1000列の乱数表としてまとめた。

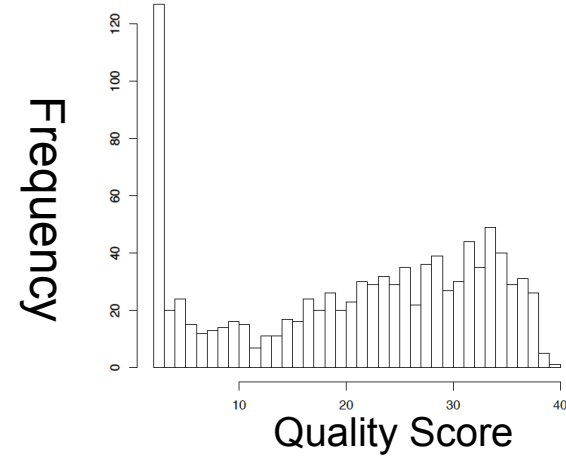
ヒストグラムによる評価

Rの関数hist()を使用して各区間でのヒストグラムを作製した。

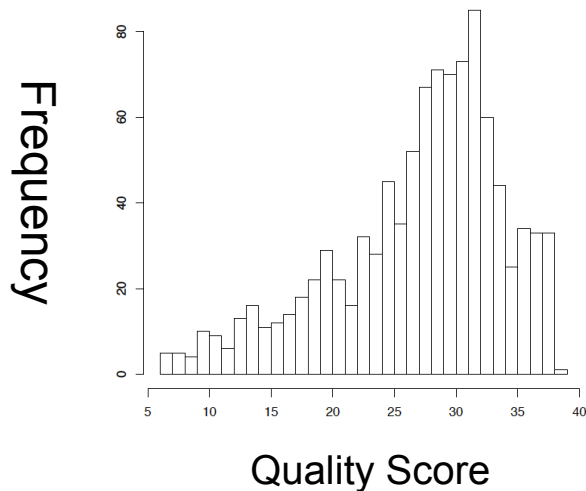
R1の1番目の区間（1～150574）のクオリティ



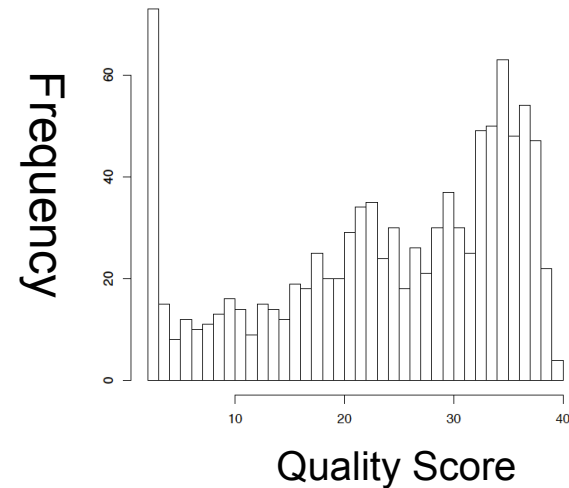
R2の1番目の区間（1～150574）のクオリティ



R1の41番目の区間（12045921～12196494）のクオリティ



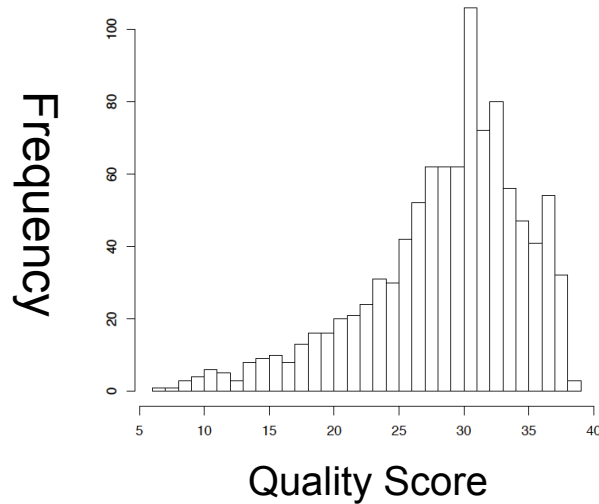
R2の81番目の区間（12045921～12196494）のクオリティ



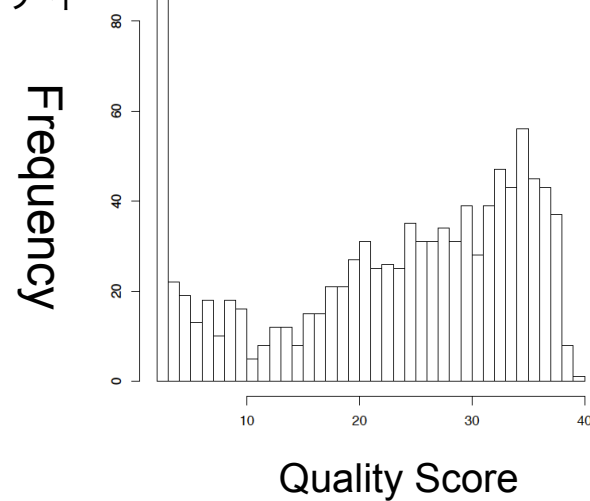
密度推定による評価

Rの関数hist()及びdensity()を使用して各区間でのクオリティチェックを行った。

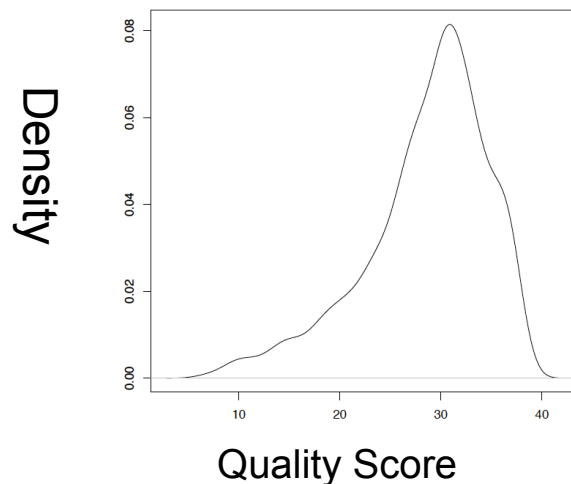
R1の41番目の区間（12045921 ~12196494）のクオリティ



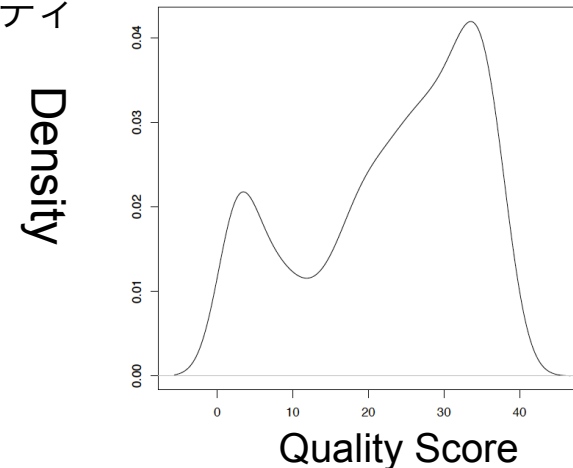
R2の81番目の区間（12045921 ~12196494）のクオリティ



R1の41番目の区間（12045921 ~12196494）のクオリティ



R2の81番目の区間（12045921 ~12196494）のクオリティ

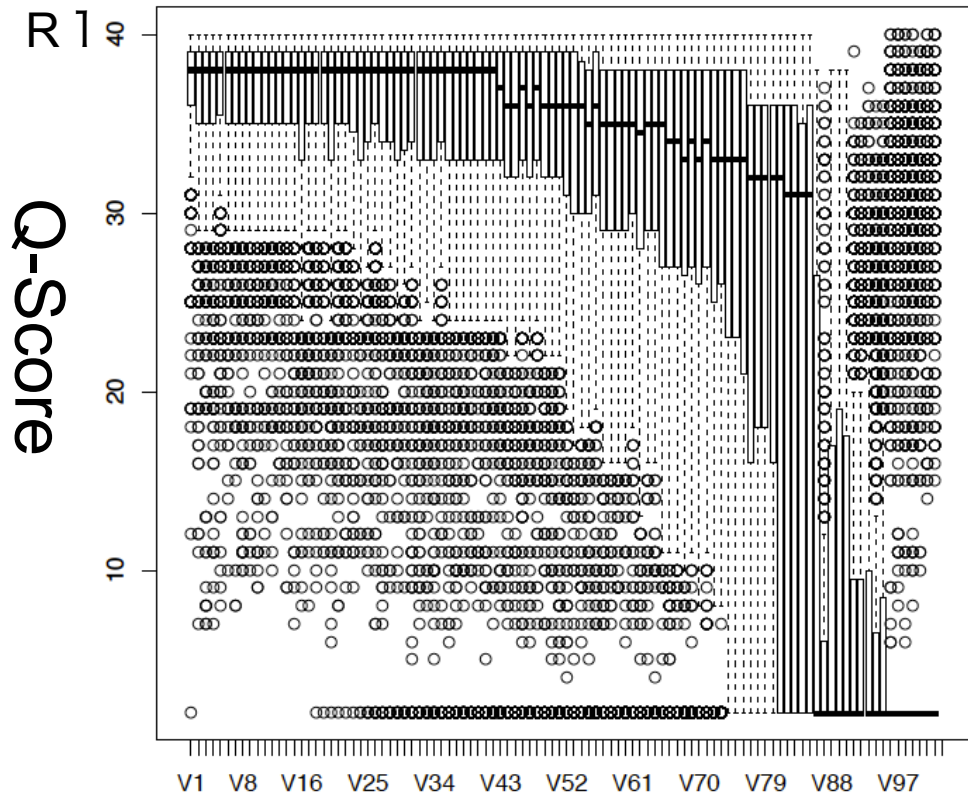


箱ひげ図による評価

Rの関数boxplot()を使用して各区分での各塩基長ごとの
を行った。

DNA配列

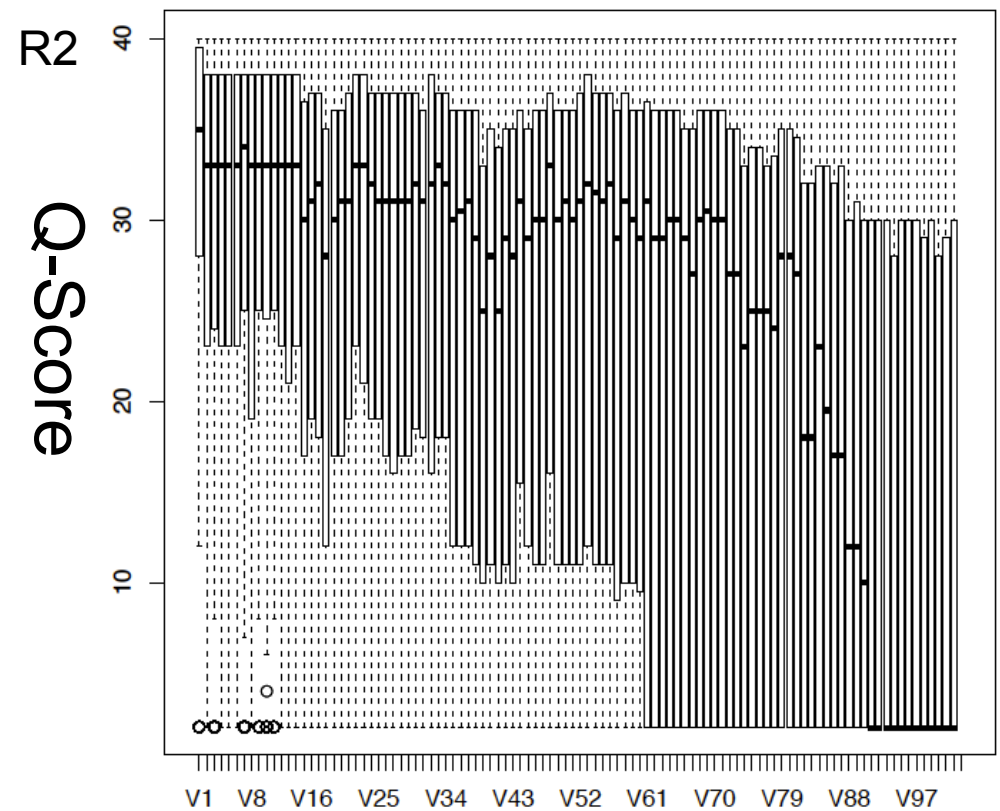
NTATCTTGACAGATTTTCTAGACTCATCCCAAGTTCTTGACCTAGCGCTGAC
AGAATTTGCTAAAATATGCTTATTCCGGTGCCAACCTCCGTGGTATGCCA



1文字目



DNA配列

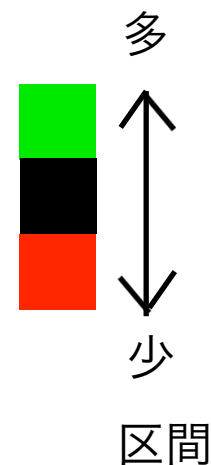


1文字目



DNA配列

ヒートマップによる評価



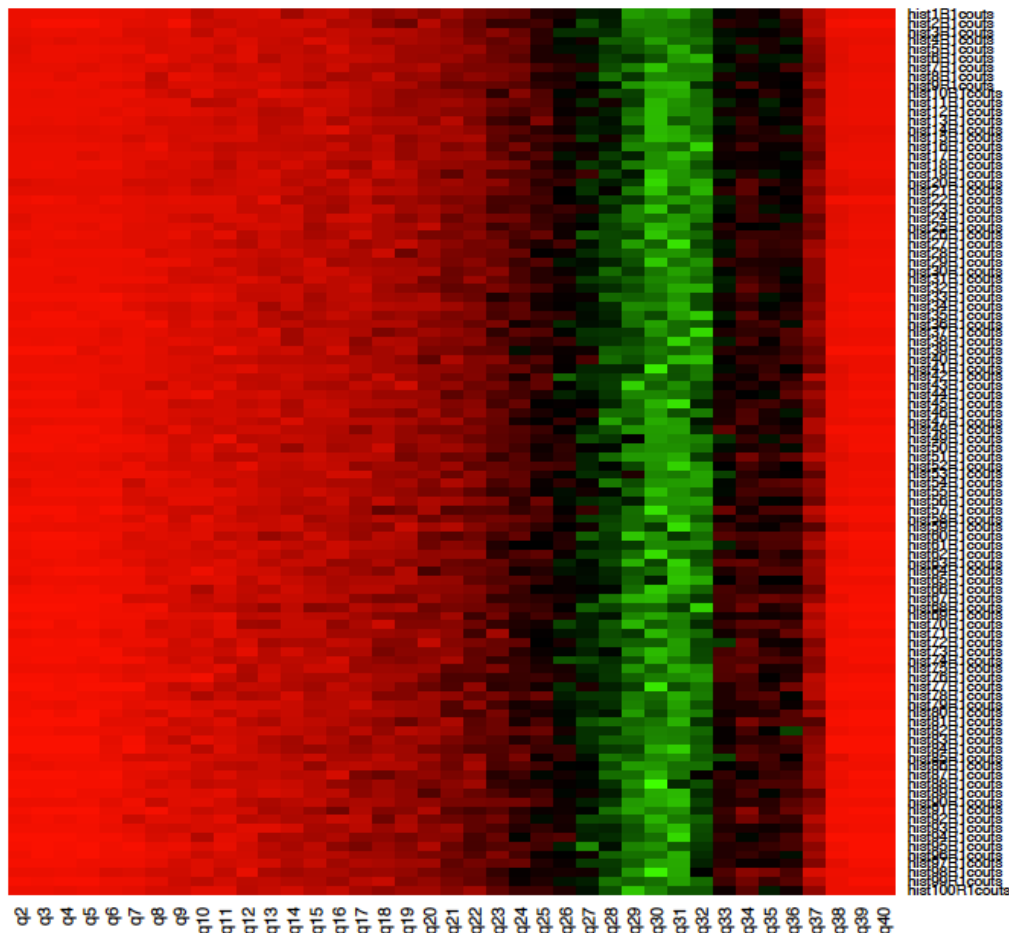
heatmap()関数を使用して全体のヒートマップを作製した。

R1のクオリティデータ

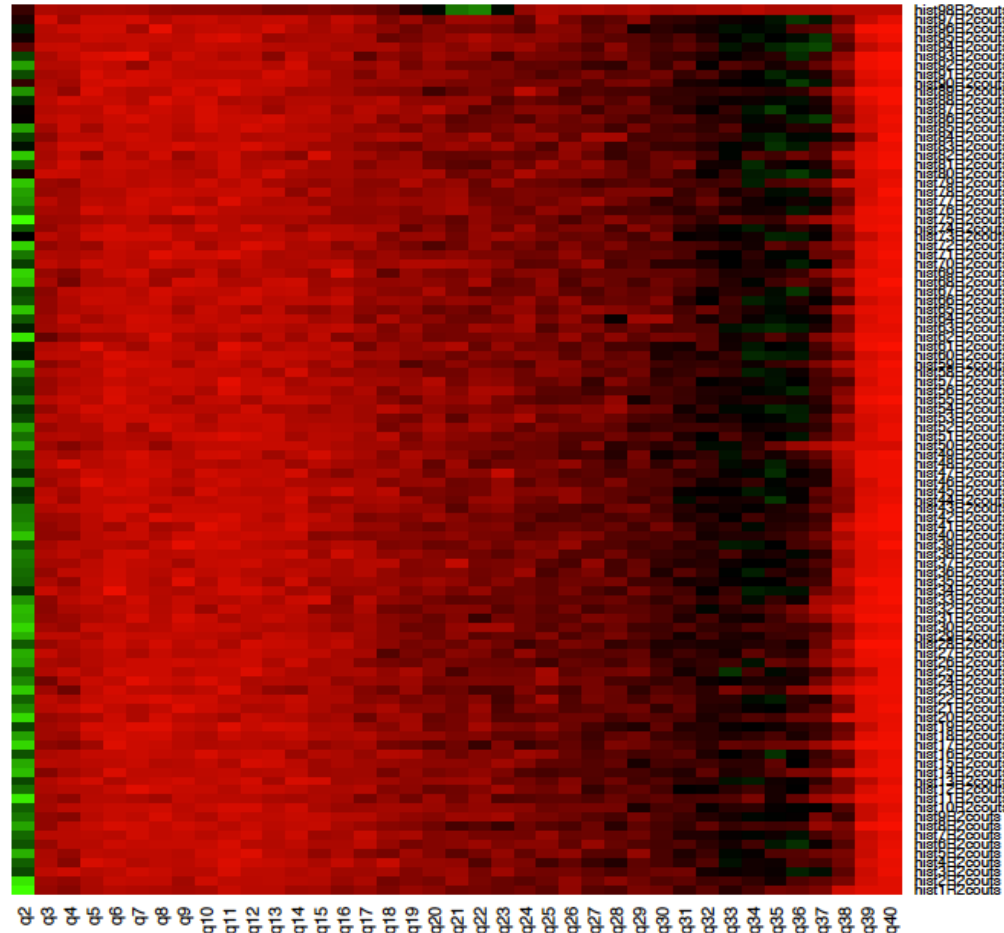
R2のクオリティデータ

区間

区間



Quality Score



Quality Score

まとめ

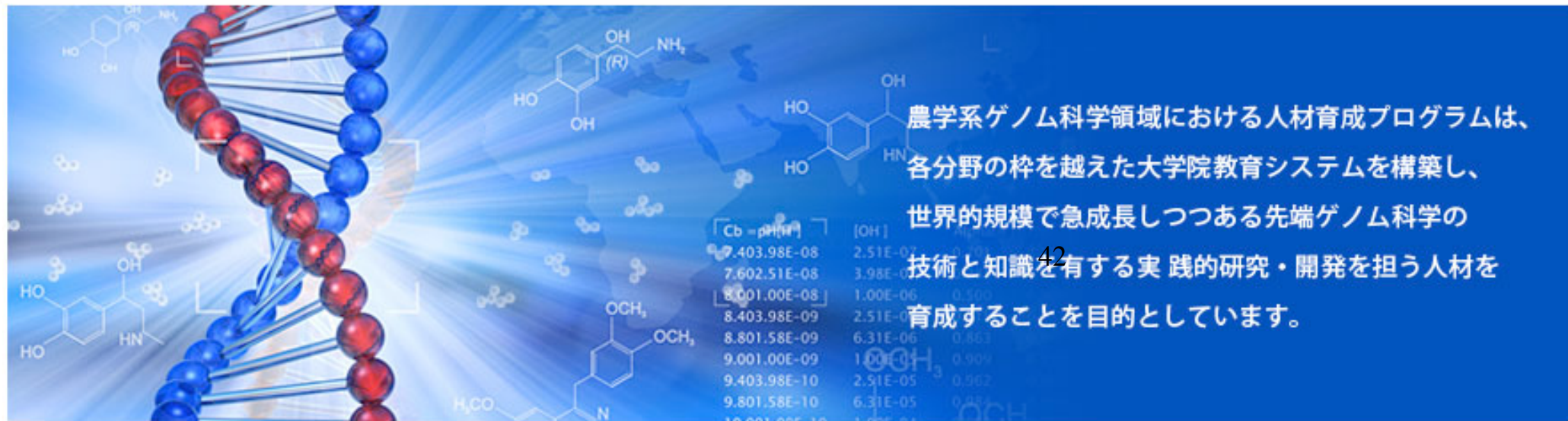
1) 次世代シーケンサーデータのクオリティは均一でないケースがある。特に、ランが失敗した例では不均一性顕著に出る。

2) クオリティチェックに使用されているソフト (FASTQC) は最初 20 万塩基しかチェックしていないので、ランが失敗した場合のクオリティチェックデータの解釈は注意が必要。

→FASTQCの結果 = ラン全体のクオリティ
になるとは限らない。

解析例 II

進化系統樹の最適化



農学系ゲノム科学領域における人材育成プログラムは、
各分野の枠を越えた大学院教育システムを構築し、
世界的規模で急成長しつつある先端ゲノム科学の
技術と知識を有する実践的研究・開発を担う人材を
育成することを目的としています。

[Cb-pH(M)]	[OH]
7.403.98E-08	2.51E-07
7.602.51E-08	3.98E-07
8.001.00E-08	1.00E-06
8.403.98E-09	2.51E-06
8.801.58E-09	6.31E-06
9.001.00E-09	1.00E-05
9.403.98E-10	2.51E-05
9.801.58E-10	6.31E-05
1.001.00E-09	1.00E-04

目的:

447種類の遺伝子を用いた28種の近縁生物種に分岐図を作成する

従来、分岐図(進化系統樹)は、ミトコンドリアや16S RNAなど比較的短い配列情報をもとに作成していた。

近年の、ゲノム解析技術の進歩から、ゲノム全体に渡る配列情報を用いて分岐図を作成することが可能となった。

その遺伝子(配列)の組合せはほぼ無限にあり、どのような配列をもとに分岐図を作成するかは、議論の余地がある。

しかし、この検討には大量の計算が必要である。
今回、モンテカルロ法による無作為抽出と、ビッグデータ処理による最適化法を確立することを目的とした。

方法： 分岐図作成の最適化検討のためのシナリオ

整列遺
伝子

1、447種類の遺伝子のマルチプルアラインメントデータを使用。

組合せ生成

2、447種類の遺伝子の組合せ数を計算。組合せのパターンを生成。447種類の遺伝子のうち4つまでの遺伝子を除く組合せの数が、**1656133808**であったので、今回はこれで、最適化法の確立の検討を行なった。447個の遺伝子の総当たりの組合せは、 $6.109568e+99$ であり、これを検討することは現実には無理。

モンテカル
口法

3、**1656133808**の数から、一様乱数を発生。該当する遺伝子の組合せたマルチプルアラインメントを作成(**ブートストラップ法**)。

分岐図作成

4、分岐図を作成し、分岐パターンを抽出。最尤法による推定により分岐図を作成(分岐図作成ソフトRAxMLを使用。)

分岐パター
ン選択

5、分岐パターンを集計して、最適化分岐図を作成し、分岐図作成に対し寄与度の高い遺伝子を検出した。

実施結果：

447個の遺伝子から任意の個数の遺伝子を選択する組合せ数の計算 (with **S-PLUS/R**)

```
> choose(447,1) # 447個の遺伝子から1遺伝子を選択
```

```
[1] 447
```

```
> choose(447,1)+choose(447,2) # 2遺伝子を選択
```

```
[1] 100128
```

```
> choose(447,1)+choose(447,2)+choose(447,3)
```

```
[1] 14886143 # 3遺伝子を選択
```

```
>choose(447,1)+choose(447,2)+choose(447,3)+  
choose(447,4) # 4遺伝子を選択
```

```
[1] 1656133808 <- 今回はこれで検証(該当する遺伝子を除く)
```

```
>choose(447,1)+choose(447,2)+choose(447,3)+.....+
```

```
choose(447,447) # 447遺伝子を選択
```

```
[1] 6.109568e+99
```

実施結果:

組合せ数列を生成するためのPerlのスク립ト

```
#!/usr/local/bin/perl
```

```
use strict;
```

```
use warnings;
```

```
our $number = 447;
```

```
our $test_flag = 0;
```

```
reflex("", 1, $number) if $test_flag;
```

```
for(my $rest = 1; $rest <= $number; $rest++){
```

```
    reflex("", 1, $rest);
```

```
}
```

```
sub reflex{
```

```
    my($computed,
```

```
        if($rest ==
```

```
            for(m
```

```
        )
```

```
    }
```

```
    return
```

```
    }else{
```

```
        $rest
```

```
        my $end = $number - $rest;
```

```
        for(my $i = $start; $i <= $end; $i++){
```

```
            reflex("$computed$i,", $i + 1, $rest);
```

```
        }
```

```
    }
```

```
}
```

447個の遺伝子から
4個までを選択する

1656133808個の

組合せ数列を産生

実施結果： 乱数の発生と対応する組合せ数列の選択

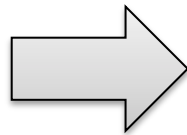
1、**S-PLUS/R**を用いて一様乱数(runif())を発生)

```
run1 <- round(runif(100000, min = 1, max = 1656133808)) # 10万個の乱数を発生
```

2、乱数に対応する組合わせ数列を選択

発生させた乱数

81571247
365913044
1023396239
644416555
691641727
1268663549
982640498
670232037
516837044
938086069



乱数に対応する数列

5,121,150,372
27,29,176,229
95,160,302,413
51,199,232,430
56,126,142,201
135,342,359,446
89,303,405,437
54,98,149,213
39,234,259,417
84,108,135,403

3、447個のうち乱数に対応する遺伝子を除き、残りのすべての遺伝子を連結させたマルチプルアラインメントファイルを作成

実施結果： RAxML の実行による分岐図の作成

マルチプルアラインメントデータのfasta 形式ファイルから **phylip 形式ファイルへの変換**

```
/usr/local/EMBOSS-6.4.0/bin/seqret fasta::1.fasta phylip::1r.phy
```

分岐図作成ソフト**RAxMLの実行**

```
/usr/local/packages/RAxML/RAxML-7.2.8-ALPHA/raxmlHPC-PTHREADS -f a -x 12345  
-p 12345 -# 20 -m GTRGAMMA -s 1.phy -n 1phy.out -T 16
```

RAxML の出力結果から以下のコマンドにより、数値や記号などを取り去り、
分岐図の簡素化パターンに変換

```
less RAxML_bestTree.200.out | tr -d [0-9] | tr -d ":" | tr -d "." | tr -d ";"  
> RAxML_bestTree.200SUMMARY.out
```

実施結果： RAxML の出力結果を分岐図パターンに変換

RAxML の出力結果から以下のコマンドにより、数値や記号などを取り去り、分岐図パターンに変換

```
less RAxML_bestTree.out | tr -d [0-9] | tr -d ":" | tr -d "." | tr -d ";" > RAxML_bestTreeSUMMARY.out
```

==> RAxML_bestTree.out <== # RAxML の出力結果

```
((((x:0.00531404813722460411,b:0.00582680929801783314):0.02597126625043840939,(m:0.03645324955994154459,((i:0.02130122160079299734,g:0.03144790765745542060):0.00424151281867054565,u:0.02948686769656536782):0.02040360046940021752):0.01521774994899611003):0.00840806219060770237,(((z:0.34344767189954156228,(t:0.14262613954560879326,l:0.09611024306570406517):0.12482727188754781655):0.17738679389459199864,(((q:0.09220903636333667441,c:0.07849740402964605623,0.02162213710044687265,((((e:0.02209622018870339294,k:0.02893283119099681472):0.0089715453504747855,p:0.08526167426794276083):0.01393193949473354662,(f:0.01318356630444799359,(n:0.01952490523202302791&:0.01693127308779425119):0.00813604928815400003):0.07817988855466992404):0.02263432315084732208,(r:0.04590445767519640841,h:0.04637315388999797144):0.03865318679664145329):0.00789191373814705256,(v:0.03284611917996409919,d:0.02250210568318532570):0.17923032798411692168):0.01001049487098192720):0.10325734189742048763,(y:0.20086249354886381857,(j:0.18321752975378832740,#:0.20967985390326032702):0.12992858329809614526):0.01880523845322217696):0.03857414591748902638):0.06620101031901222399,(o:0.03854648520093560682,s:0.03552704927452698946):0.12706855170728659221):0.05630830036902149949,w:0.13933629626394547496):0.07157780409461377003,a:0.03782021720159066402):0.0;
```

==> RAxML_bestTreeSUMMARY.out <== # 変換された簡素化分岐図パターン

```
((((x,b),(m,((i,g),u))),(((z,(t,l)),((q,c),((((e,k),p),(f,(n,&))),(r,h)),(v,d))),(y,(j,#))),),(o,s)),w),a)
```

実施結果： 分岐図パターンの集計

分岐図パターンの頻度を計数することで数値化

以下のように、先行20回の試行解析のうち

19回: (((x,b),(m,((i,g),u))),(((z,(t,l)),(((q,c),((((e,k),p),(f,(n,&))),r,h)),(v,d))),y,(j,#))),o,s),w),a)

1回: (((x,b),(m,((i,g),u))),(((z,(t,l)),(((q,c),((v,d),((((e,k),p),(f,(n,&))),r,h))),y,(j,#))),o,s),w),a)

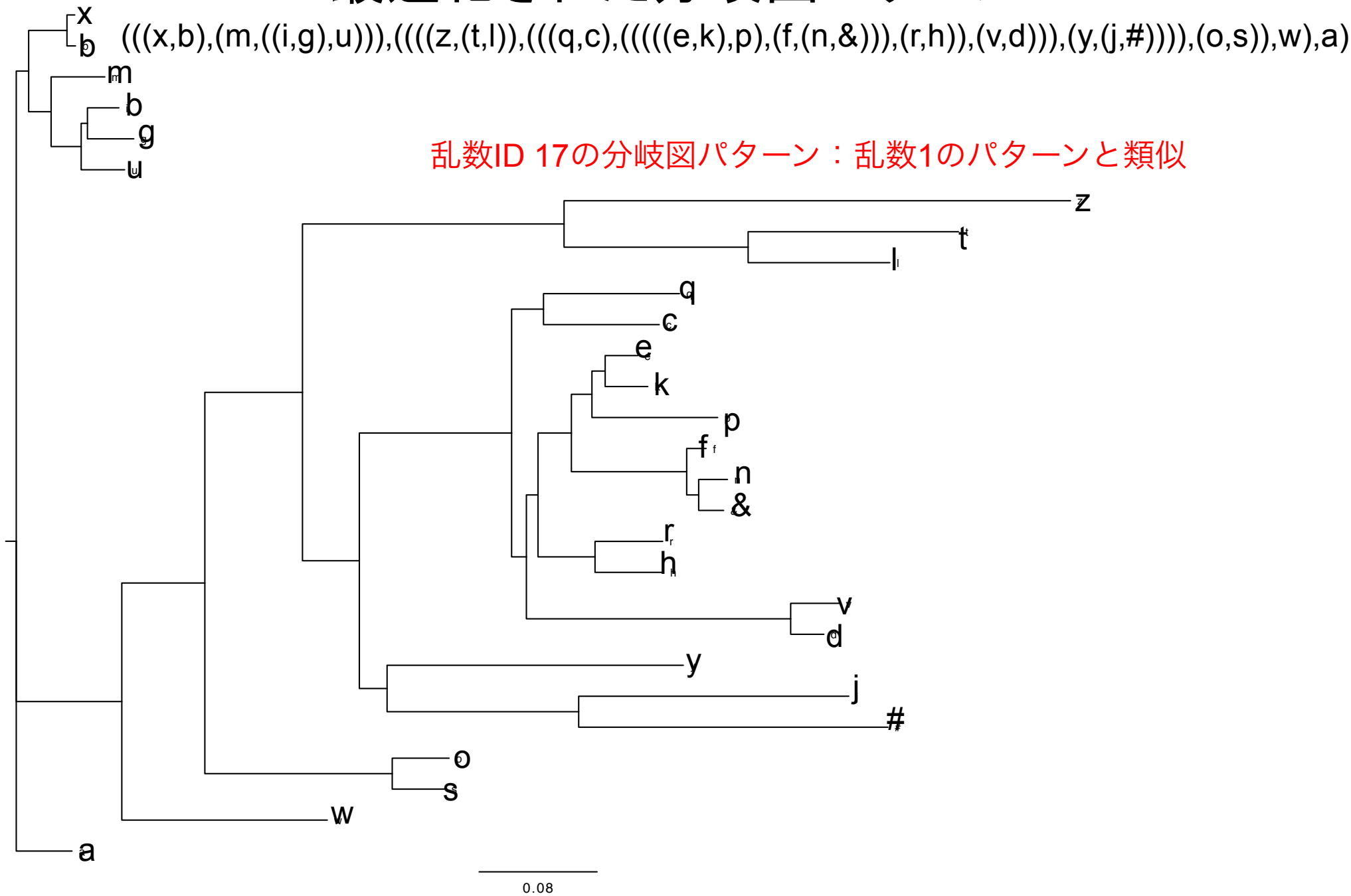
となり最適化分岐図が求められた。(ただし、この程度では、検討に足りない、。))

また、189、203、337、393が分岐図作成に強く寄与していることが推定された。

乱数ID	遺伝子1	遺伝子2	遺伝子3	遺伝子4	Process Name	Tree Pattern
1	5	121	150	372	xaaN1	(((x,b),(m,((i,g),u))),(((z,(t,l)),(((q,c),((((e,k),p),(f,(n,&))),r,h)),(v,d))),y,(j,#))),o,s),w),a)
2	27	29	176	229	xaaN2	(((x,b),(m,((i,g),u))),(((z,(t,l)),(((q,c),((((e,k),p),(f,(n,&))),r,h)),(v,d))),y,(j,#))),o,s),w),a)
3	95	160	302	413	xaaN3	(((x,b),(m,((i,g),u))),(((z,(t,l)),(((q,c),((((e,k),p),(f,(n,&))),r,h)),(v,d))),y,(j,#))),o,s),w),a)
4	51	199	232	430	xaaN4	(((x,b),(m,((i,g),u))),(((z,(t,l)),(((q,c),((((e,k),p),(f,(n,&))),r,h)),(v,d))),y,(j,#))),o,s),w),a)
5	56	126	142	201	xaaN5	(((x,b),(m,((i,g),u))),(((z,(t,l)),(((q,c),((((e,k),p),(f,(n,&))),r,h)),(v,d))),y,(j,#))),o,s),w),a)
6	135	342	359	446	xaaN6	(((x,b),(m,((i,g),u))),(((z,(t,l)),(((q,c),((((e,k),p),(f,(n,&))),r,h)),(v,d))),y,(j,#))),o,s),w),a)
7	89	303	405	437	xaaN7	(((x,b),(m,((i,g),u))),(((z,(t,l)),(((q,c),((((e,k),p),(f,(n,&))),r,h)),(v,d))),y,(j,#))),o,s),w),a)
8	54	98	149	213	xaaN8	(((x,b),(m,((i,g),u))),(((z,(t,l)),(((q,c),((((e,k),p),(f,(n,&))),r,h)),(v,d))),y,(j,#))),o,s),w),a)
9	39	234	259	417	xaaN9	(((x,b),(m,((i,g),u))),(((z,(t,l)),(((q,c),((((e,k),p),(f,(n,&))),r,h)),(v,d))),y,(j,#))),o,s),w),a)
10	84	108	135	403	xaaN10	(((x,b),(m,((i,g),u))),(((z,(t,l)),(((q,c),((((e,k),p),(f,(n,&))),r,h)),(v,d))),y,(j,#))),o,s),w),a)
11	107	277	308	420	xaaN11	(((x,b),(m,((i,g),u))),(((z,(t,l)),(((q,c),((((e,k),p),(f,(n,&))),r,h)),(v,d))),y,(j,#))),o,s),w),a)
12	132	379	399	432	xaaN12	(((x,b),(m,((i,g),u))),(((z,(t,l)),(((q,c),((((e,k),p),(f,(n,&))),r,h)),(v,d))),y,(j,#))),o,s),w),a)
13	20	223	367	414	xaaN13	(((x,b),(m,((i,g),u))),(((z,(t,l)),(((q,c),((((e,k),p),(f,(n,&))),r,h)),(v,d))),y,(j,#))),o,s),w),a)
14	23	96	240	421	xaaN14	(((x,b),(m,((i,g),u))),(((z,(t,l)),(((q,c),((((e,k),p),(f,(n,&))),r,h)),(v,d))),y,(j,#))),o,s),w),a)
17	20	243	277	295	xaaN17	(((x,b),(m,((i,g),u))),(((z,(t,l)),(((q,c),((((e,k),p),(f,(n,&))),r,h)),(v,d))),y,(j,#))),o,s),w),a)
18	6	219	248	317	xaaN18	(((x,b),(m,((i,g),u))),(((z,(t,l)),(((q,c),((((e,k),p),(f,(n,&))),r,h)),(v,d))),y,(j,#))),o,s),w),a)
20	56	181	237	313	xaaN20	(((x,b),(m,((i,g),u))),(((z,(t,l)),(((q,c),((((e,k),p),(f,(n,&))),r,h)),(v,d))),y,(j,#))),o,s),w),a)
21	220	247	327	390	xaaN21	(((x,b),(m,((i,g),u))),(((z,(t,l)),(((q,c),((((e,k),p),(f,(n,&))),r,h)),(v,d))),y,(j,#))),o,s),w),a)
22	189	203	337	393	xaaN22	(((x,b),(m,((i,g),u))),(((z,(t,l)),(((q,c),((v,d),((((e,k),p),(f,(n,&))),r,h))),y,(j,#))),o,s),w),a)
23	149	251	300	316	xaaN23	(((x,b),(m,((i,g),u))),(((z,(t,l)),(((q,c),((((e,k),p),(f,(n,&))),r,h)),(v,d))),y,(j,#))),o,s),w),a)

実施結果： 最適化された分岐図パターン

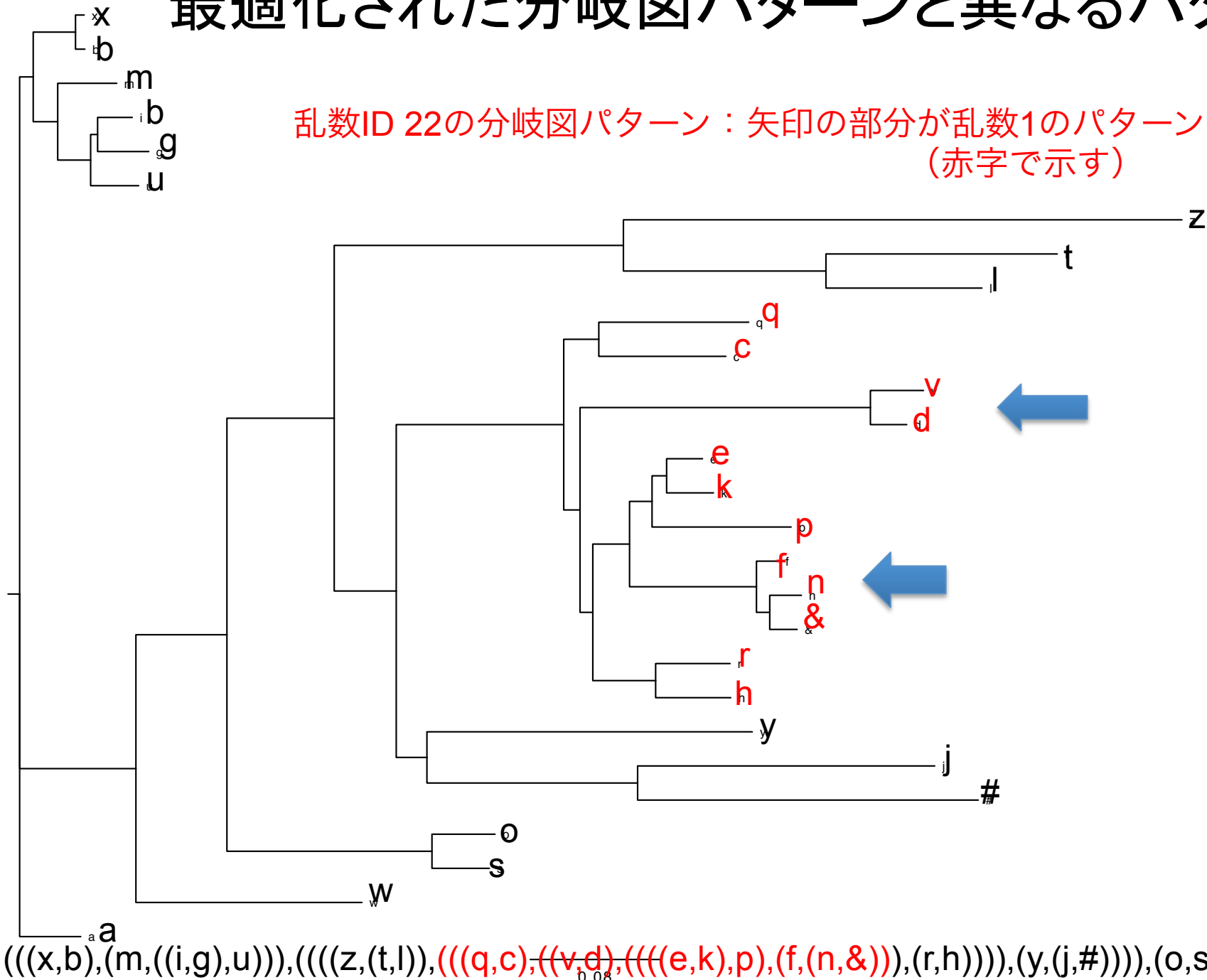
乱数ID 17の分岐図パターン：乱数1のパターンと類似



実施結果：

最適化された分岐図パターンと異なるパターン

乱数ID 22の分岐図パターン：矢印の部分が乱数1のパターンと異なる
(赤字で示す)

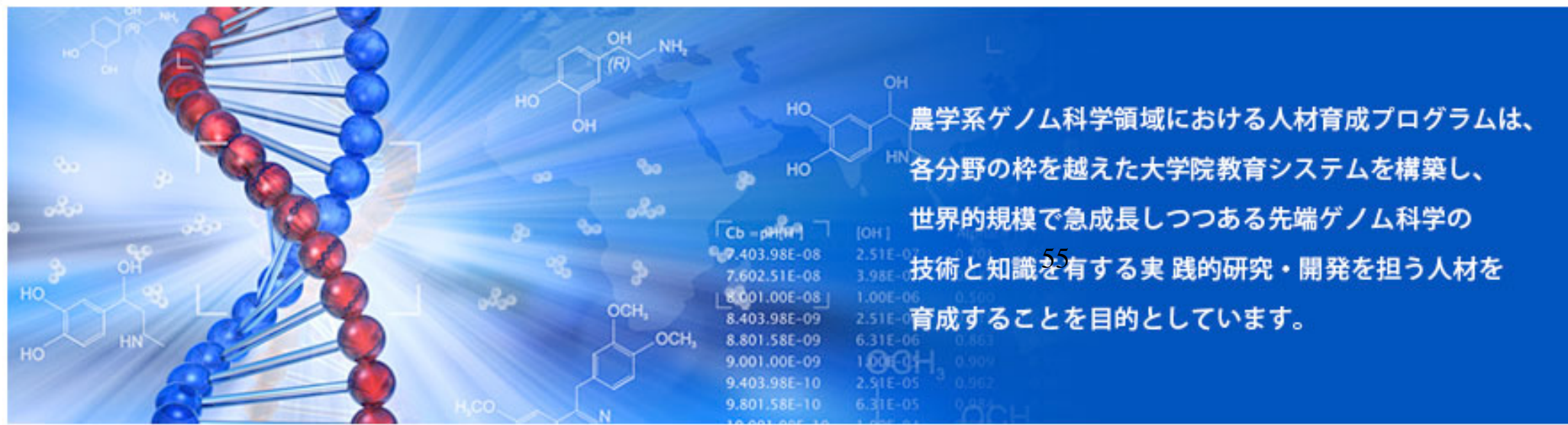


まとめ:

- 1、モンテカルロ法による無作為抽出法による分岐図の最適化法を確立した。しかし、現状の解析は十分でない。理論上考えられるすべての組合せを計算し、最適化するというのは、まだ困難。さらに工夫が必要（分散処理によるスケールアウトを含む）。
 - 2、その実施には、大規模なコンピュータリソースを必要とし、気軽にできるとは言いがたい。
 - 3、今後、ゲノム科学のデータ産生量の増加に伴い、同様の大量の計算機リソースを必要とする場面が増えてくることが予想される。
- Big Iron** や**クラウド**などを導入したビッグデータ処理環境の需要の高まりが予想される。

解析例 III

精神神経系疾患診断系の確立

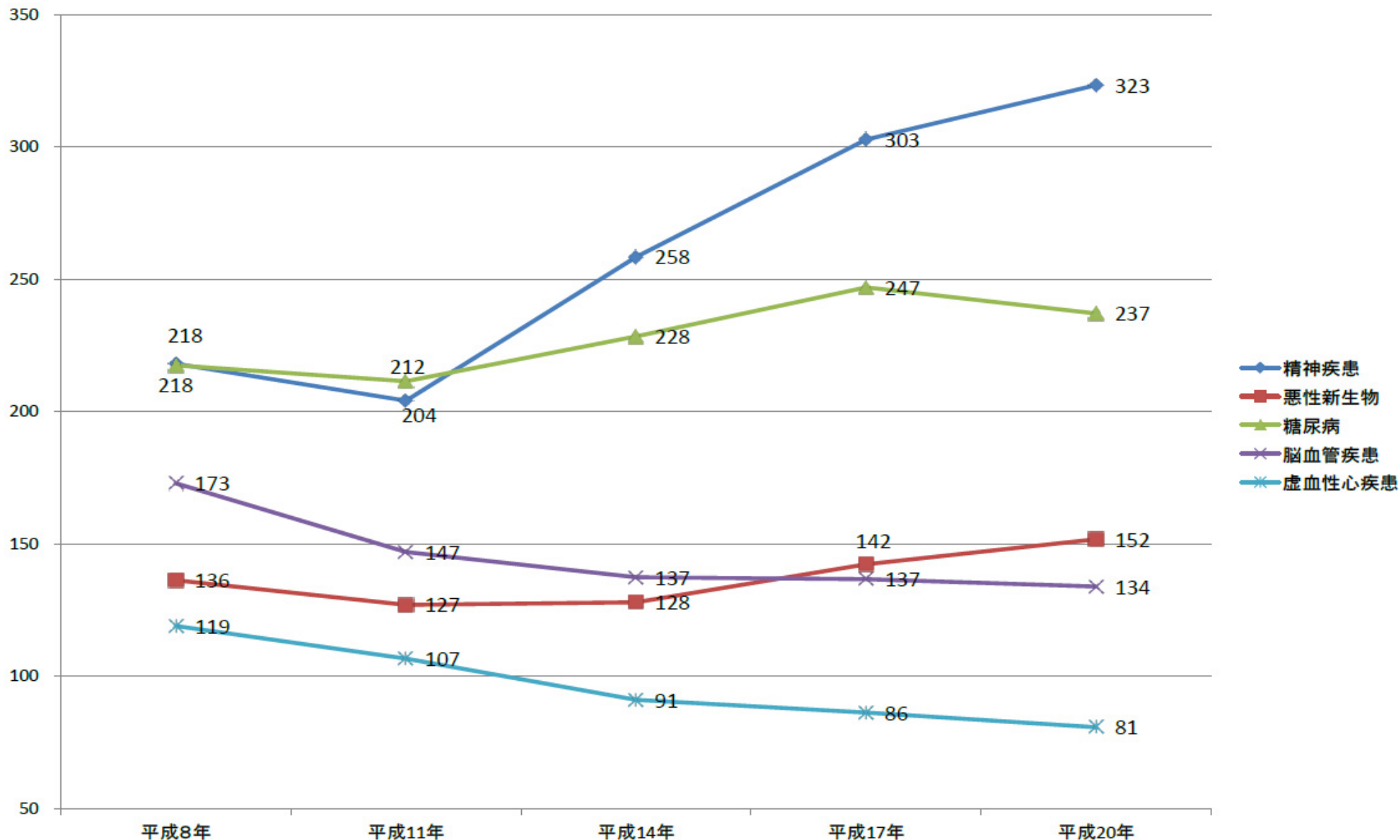


農学系ゲノム科学領域における人材育成プログラムは、
各分野の枠を越えた大学院教育システムを構築し、
世界的規模で急成長しつつある先端ゲノム科学の
技術と知識を有する実践的研究・開発を担う人材を
育成することを目的としています。

[Cb-pH(1)]	[OH]
7.403.98E-08	2.51E-07
7.602.51E-08	3.98E-07
8.001.00E-08	1.00E-06
8.403.98E-09	2.51E-06
8.801.58E-09	6.31E-06
9.001.00E-09	1.00E-05
9.403.98E-10	2.51E-05
9.801.58E-10	6.31E-05
1.001.00E-09	1.00E-04

同省が把握する2009年時点のデータによると、がん患者数およそ152万人、糖尿病患者数およそ237万人に対し、精神疾患数は既に323万人となっており、最も多いとされるがんの2倍以上にも及んでいることが明らかになった (<http://cl-co.com/headline/news/790/>より)。

傷病別の医療機関にかかっている患者数の年次推移



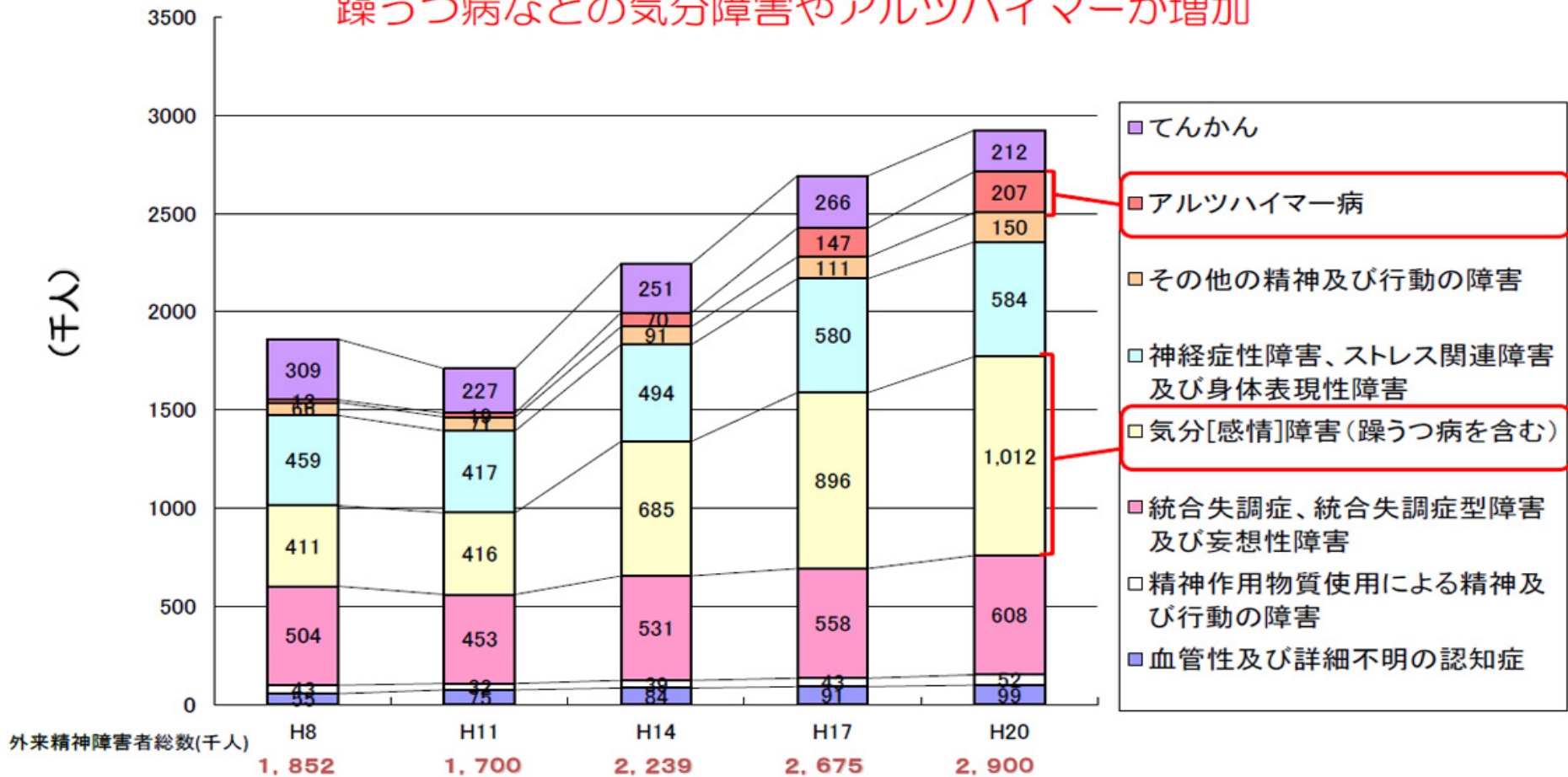
※単位:万人
※出典:患者調査を基に作成

<http://www.mhlw.go.jp/stf/shingi/2r9852000001hx9n.html>より引用

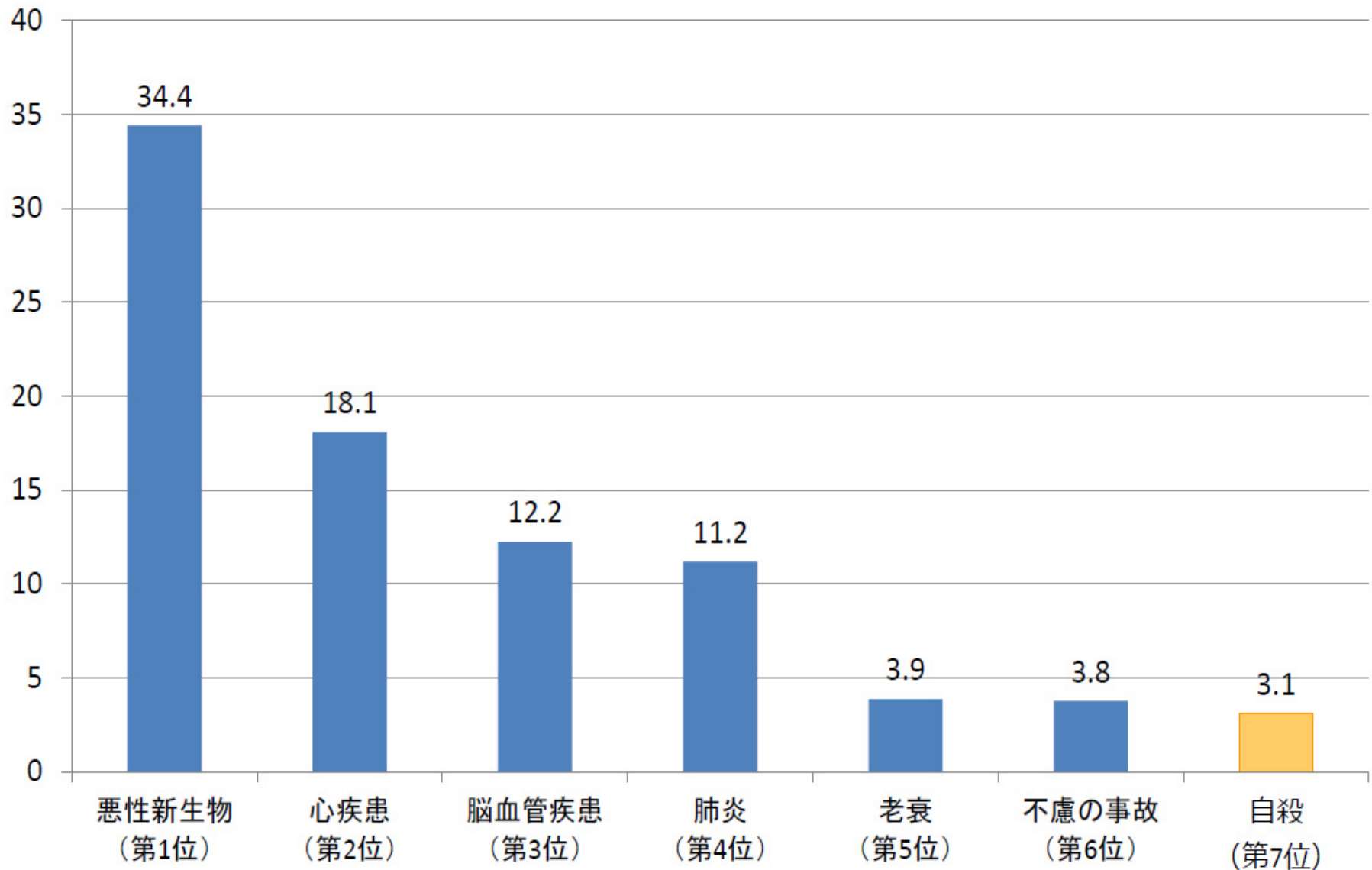
医療機関にかかっている患者数の年次推移を疾病別に示したグラフによると、がん患者数がほぼ横ばいなのに対し、精神疾患患者数はここ10年間で1.5倍に急増。

精神疾患外来患者の疾病別内訳

躁うつ病などの気分障害やアルツハイマーが増加



死因順位別の死亡数



※単位:万人

※出典:平成21年人口動態統計

<http://www.mhlw.go.jp/stf/shingi/2r9852000001hx9n.html>より引用

精神神経系疾患の特徴

近年の社会情勢、国内事情により、急激に患者数が増加。罹患数でガンの2倍以上。

2011年、厚生労働省の指定する5大疾患に追加。
2013年度から医療計画に反映。

問診による医師の経験的診断に基づき、効果的な客観的診断法が存在しない。

いわゆるアンメットメディカルニーズである。

精神神経系疾患系の構築

精神神経系疾患を対象とする。

臨床血液検体を用いて、網羅的ゲノム解析を行う。

PCRおよびマイクロアレイで予備的解析を行う。

次世代シーケンサーによる検査項目の探索。

(遺伝子発現や遺伝子修飾など)

感度と特異度

医学臨床の検査キットなどの性能を評価する指標に、感度（sensitivity）と特異度（specificity）というものがある。

		真の状態 (生検などの詳細検査の結果で決定)		
		陽性	陰性	
検査結果	陽性	真陽性	偽陽性 (第1種の過誤)	陽性適中率 = $\frac{\text{真陽性の数}}{\text{検査陽性の数}}$
	陰性	偽陰性 (第2種の過誤)	真陰性	陰性適中率 = $\frac{\text{真陰性の数}}{\text{検査陰性の数}}$
		感度 = $\frac{\text{真陽性の数}}{\text{真陽性} + \text{偽陰性}}$	特異度 = $\frac{\text{真陰性の数}}{\text{偽陽性} + \text{真陰性}}$	

方法：予備的解析

臨床血液検体（患者、健常者）よりDNA、RNAを採取。
網羅的ゲノム解析を行なう。

測定値を、**統計的有意差検定**などで検定し、上位の検査項目を
リストアップ。

多変量解析、クラスター解析、機械学習、ベイズ統計などでの
分別法で分別。
判別式、統計モデルを作成。

感度、特異度を求めて分別力を評価する。

患者 vs 健常者 比較

(少数の検査項目の組み合わせでもある程度の感度、
特異度で完全な診断が可能であることを確認)

詳細データは後日公開

線形モデルによるモデル式の作成
モデル式なども後日公開

今後の展開

多検体、多項目で総合的に検討し、診断法を確立。

○高次元データによる解析アプローチ

○説明変数の絞り込み(スパースモデリング)

2つの方法で、診断系を確立する。

次世代シーケンサーだと7.5テラバイト。

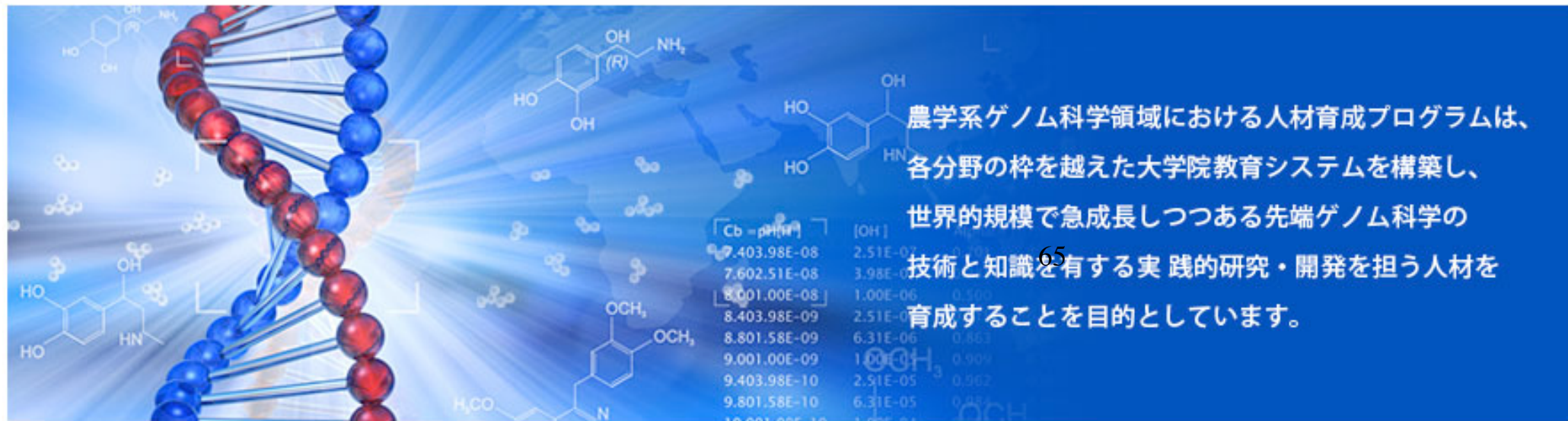
アマゾンクラウド+Hadoop

各種分別法で、感度、特異度の検討。

事例 IV

情報処理学会 人材育成

ビッグデータ活用実務フォーラム



農学系ゲノム科学領域における人材育成プログラムは、各分野の枠を越えた大学院教育システムを構築し、世界的規模で急成長しつつある先端ゲノム科学の技術と知識を有する実践的研究・開発を担う人材を育成することを目的としています。

[Cb - p[OH]]	[OH]
7.403.98E-08	2.51E-07
7.602.51E-08	3.98E-07
8.001.00E-08	1.00E-06
8.403.98E-09	2.51E-06
8.801.58E-09	6.31E-06
9.001.00E-09	1.00E-05
9.403.98E-10	2.51E-05
9.801.58E-10	6.31E-05
1.001.00E-09	1.00E-04

情報処理学会 ビッグデータ活用実務フォーラム

IT 勉強会の活動をモデルとして、
ビッグデータ活用の現場で勤務するデータサイエンティストや、
データサイエンティストを目指す学生や若手技術者を対象に、
ビッグデータの現場での活用に関する情報交換、情報共有、
情報発信の場を提供し、もって若手データサイエンティストの
人材育成に寄与することを目的する。

セミナー、勉強会など

- 1、ビッグデータ現場の会
- 2、オープンソースカンファレンス
- 3、日本技術士会CPD中央講座
- 4、情報処理学会ソフトウェアジャパン2014
- 5、その他、実務講習会

雑誌特集号など

情報処理学会誌など

「ビッグデータ活用実務特集号」企画

今後

データサイエンティスト
人材育成に貢献したい

共同研究者

東京農工大学

佐藤暁、古崎利紀、有江力

茨城大学

松田朋子、後藤哲雄

徳島大学

沼田周助、木下誠、伊賀淳一、渡部真也、大森哲郎